

## Ein Beitrag zur Springspinnenfauna (Araneae: Salticidae) der griechischen Insel Kreta mit der Erstbeschreibung von *Pellenes florii* sp. nov.

Michael Schäfer



doi: 10.30963/aramit5910

**Abstract. Contribution to the jumping spider fauna (Araneae: Salticidae) of the Greek island of Crete, with the first description of *Pellenes florii* sp. nov.** A faunistic survey of jumping spiders on the Greek island of Crete revealed 24 species from 18 genera. One of them, *Pellenes florii* sp. nov., is newly described. Furthermore photos of several salticid species are presented for the first time. Additionally some taxonomic problems concerning the salticid fauna of Crete are briefly discussed.

**Key words:** distribution, Europe, Mediterranean, new faunistic record, spiders

**Zusammenfassung.** Während einer Erfassung der Springspinnenfauna der griechischen Insel Kreta wurden 24 Arten aus 18 Gattungen nachgewiesen. Eine der Arten, *Pellenes florii* sp. nov., wird neu beschrieben. Zudem werden mehrere Springspinnenarten erstmals fotografisch dargestellt. Darüber hinaus werden einige taxonomische Probleme hinsichtlich der Springspinnenfauna von Kreta kurz besprochen.

Die ersten Springspinnennachweise von der Insel Kreta stammen bereits aus dem 19. Jahrhundert (Lucas 1853, Cecconi 1896). Es folgten einige wenige Nachweise von Kulczyński (1903), Giltay (1932) und Roewer (1959), ehe die Anzahl an nachgewiesenen kretischen Salticiden zum Ende des 20. Jahrhunderts durch die Arbeiten von Wesolowska (1986) und Metzner (1999) einen großen Sprung nach oben machte. Dabei trug letzterer im Rahmen seiner Revision der griechischen Springspinnenfauna (Metzner 1999) mit 21 Neunachweisen für die Insel den größten Teil bei. In den nächsten Jahren folgten fünf Publikationen (Logunov 2001, Azarkina 2002, Dobroruka 2002, Logunov & Chatzaki 2003, Logunov & Marusik 2003), welche die Nachweisanzahl weiter erhöhten, bevor Bosmans et al. (2013) im Rahmen ihres umfassenden Kataloges der Spinnen von Kreta mit 12 Erstnachweisen einen weiteren großen Schritt zur Vervollständigung der Inventarisierung der kretischen Salticidenfauna beitragen konnten. Die aktuellsten Neunachweise stammen von Logunov (2015) und Lecigne (2016). Insgesamt sind für Kreta momentan 62 Springspinnenarten nachgewiesen (Tab. 2 und 3).

Der Erfassungsstand der Salticiden Kretas ist insgesamt als sehr gut einzuschätzen. Umso bemerkenswerter ist, dass im Rahmen der hier veröffentlichten Ergebnisse eine Art präsentiert werden kann, die nicht nur neu für die Insel, sondern auch neu für die Wissenschaft ist.

Aktuelle Funde bereits nachgewiesener Arten und neue Erkenntnisse hinsichtlich deren Verbreitung auf der Insel werden dokumentiert. Außerdem werden einige Insel-Endemiten, wie z.B. *Aelurillus cretensis* (Abb. 17-18), *Heliophanus creticus* (Abb. 20), *Phlegra theseusi* (Abb. 21-23) und *Saitis sengleti* (Abb. 24-26) im Rahmen dieser Arbeit das erste Mal fotografisch abgebildet. Die Diskussion einiger taxonomischer Probleme innerhalb der Gattung *Pellenes* rundet dieses Manuskript ab.

### Material und Methoden

Zwischen 10. und 19. Mai 2018 konnten auf der griechischen Insel Kreta 24 Springspinnenarten aus 18 Gattungen nachgewiesen werden. Insgesamt wurden vom Autor im Westteil

der Insel 161 Einzelindividuen an 27 Lokalitäten (Tab. 1) mit Klopfschirm, Kescher und von Hand gesammelt. Das Material wurde vom Autor bestimmt. Die dafür genutzte Literatur und das gegebenenfalls verwendete Vergleichsmaterial werden in der nachfolgenden Liste bei jeder der Arten im Einzelnen aufgeführt. Einige der Tiere wurden als Jungtiere aufgesammelt und später zur Reifehäutung gebracht. In diesen Fällen wird das Datum der Reifehäutung separat ausgewiesen. Weiterhin wurden aus den Gelegen von *Heliophanillus fulgens*, *Heliophanus creticus* und *Saitis sengleti* mehrere Jungtiere zur Reife gebracht, welche, als solche gekennzeichnet, ebenfalls als Material in die Artenliste einfließen. Das für die Bestimmung und die Beschreibung verwendete Vergleichsmaterial wurde aus folgenden Sammlungen ausgeliehen: MMUM – Manchester Museum, The University of Manchester, UK (Kurator: Dmitri Logunov), MNHG – Museum of Natural History Geneva, CH (Kurator: Peter J. Schwendinger), OUMNH – Oxford University Museum of Natural History, UK (Kuratorin: Zoë Simmons), PCJK – Private Sammlung Johan Van Keer, PCMS – Private Sammlung Michael Schäfer, PCSL – Private Sammlung Sylvain Lecigne (als hochauflösende Fotos aus der Galerie von Pierre Oger (Oger 2019)), SMF – Senckenberg Naturmuseum Frankfurt (Kurator: Peter Jäger), SMNK – Staatliches Museum für Naturkunde Karlsruhe (Kurator: Hubert Höfer), ZMB – Museum für Naturkunde Berlin (Kurator: Jason Dunlop).

Die Nomenklatur der einzelnen Arten sowie die Angaben zu deren bekannter Verbreitung folgen dem WSC (2020). Alle Tiere wurden als Belege in 70% Ethanol konserviert und in der Sammlung des Autors archiviert. Eine Ausnahme bildet das Typus-Material von *Pellenes florii* – dieses wurde im Staatlichen Museum für Naturkunde Karlsruhe (SMNK) unter den Archivnummern SMNK-ARA 16235 und 16236 hinterlegt. Sämtliche Fotos entstanden mit Canon Spiegelreflex-Kameras (EOS 50D / EOS 5D Mark IV). Dabei wurde für die Lebendfotos ein Canon MP-E 65mm Lupenobjektiv verwendet. Für die Aufnahmen der Genitalpräparate kamen die Kameras direkt montiert am Fototubus eines Motic SMZ-168 TP Stereomikroskops zum Einsatz. Die Beschreibung von *Pellenes florii* orientiert sich formal und hinsichtlich der angegebenen Maße an Metzner (1999: Abb. 2). Um eine möglichst gute Vergleichbarkeit mit den abzugrenzenden Arten zu gewährleisten, dienten dabei die Beschreibungen der

Michael SCHÄFER, An den Bänken 36b, 12589 Berlin, Deutschland;  
E-Mail: michael.schaefer@kleinesganzgross.de

Academic editor: Theo Black

eingereicht: 13.1.2020, angenommen: 20.3.2020, online: 9.4.2020



**Abb. 1:** Fundorte. **a-b.** Petres (Locus typicus von *P. florii* sp. nov.); **c.** Kournas See; **d.** Preveli; **e.** Xyloskalo; **f.** Argiroupoli; **g.** Festung Rethymnon; **h.** Askifou-Hochebene; **i.** Kalyvaki Beach; **j.** Armeni; **k.** Moni Katholiko; **l.** nahe Koufi

**Fig. 1:** Locations. **a-b.** Petres (locus typicus of *P. florii* sp. nov.); **c.** Lake Kournas; **d.** Preveli; **e.** Xyloskalo; **f.** Argiroupoli; **g.** fortress Rethymnon; **h.** Plateau of Askifou; **i.** Kalyvaki Beach; **j.** Armeni; **k.** Moni Katholiko; **l.** near Koufi

Vertreter der *Pellenes nigrociliatus*-Gruppe (Metzner 1999: 121) als direkte Vorlagen. Alle Messungen ohne Maßeinheit sind in Millimeter angegeben.

#### Erstbeschreibung einer neuen *Pellenes*-Art

*Pellenes florii* sp. nov. (Abb. 2-10, 11e, 12e, 13a-c, 14e, 15e-f, 16e-f)

**Holotypus.** GRIECHENLAND, Kreta, Petres, 35,35221°N 24,36223°E, 10 m ü. NN, zwischen Steinen, 18. Mai 2018: 1 ♀ – Reifehäutung 4. Aug. 2018: 1 ♀ (SMNK-ARA 16235).

**Paratypen.** GRIECHENLAND, Kreta, L1, zwischen Steinen, 18. Mai 2018: 4 jj – Reifehäutung 29. Mai 2018: 2 ♂♂, 4. Aug. 2018: 2 ♀♀ (SMNK-ARA 16236), 6 jj – Reifehäutung: 29. Mai 2018: 2 ♂♂, 1. Jun. 2018: 1 ♂, 19. Jun. 2018: 2 ♂♂, 18. Sep. 2018: 1 ♀ (PCMS-CR2018-148).

#### Vergleichsmaterial

*Pellenes arciger* (Walckenaer, 1837): FRANKREICH, Korsika, Calenzana, 8. Sep. 1952: 1 ♂ (SMF 8913); Ufer des

Lago del Coghinas b. Oschiri, 3. Sep. 1954: 1 ♂ (SMF 8912); GRIECHENLAND, Igoumenitsa Halbinsel, 39,51667°N 20,18333°E, 38 m ü. NN, Strand mit Garrigue, 14. Mai 2010: 1 ♀ (PCMS); ITALIEN, Sardinien, Felsen am Monte Forte, 40,71037°N 8,28023°E, 270 m ü. NN, Felsen, Steine, 28. Apr. 2013: 2 ♀♀ (PCMS); SPANIEN, am Fluss Tiétar, 40,09793°N 5,21124°W, 516 m ü. NN, steiniger Uferbereich, 16. Apr 2017: 1 ♀ (PCMS).

*Pellenes brevis* (Simon, 1868): BULGARIEN, Dyadovo, 42,43437°N 26,02678°E, 150 m ü. NN, Trockenrasen, Ruderalflur, 12. Mai 2018: 3 ♀♀ (PCMS); DEUTSCHLAND, Kaiserstuhl, Badberg bei Vogtsburg, Xerobrometum, 3. Mai 1973: 2 ♂♂ (ZMB 50140), 26. Mai 1973: 1 ♂ (ZMB 50139). FRANKREICH, Château de Quéribus, 42,84467°N 2,62033°E, 459 m ü. NN, Hartlaub-Waldsteppe, unter Steinen, 12. Sep. 2015: 1 ♀ (PCMS); GRIECHENLAND, Halbinsel Peloponnes, See Stymphalia, 37,86666°N 22,46667°E, 611 m ü. NN, 26. Mai 1983: 4 ♀♀ (MNHG); Lesbos, Evriaki NE, Lefkafia beach, 39,06287°N 26,48588°E, 3 m ü. NN,

**Tab. 1:** Fundorte der gesammelten Tiere mit Koordinaten und Höhenangaben in m ü. NN (Zahlen in Klammern stellen nachgezüchtete Individuen dar)

**Tab. 1:** Localities of the collected specimens with coordinates and altitude in m a.s.l. (numbers in brackets represent captive-bred specimens)

Nr.	Fundort	Breite	Länge	Höhe	Tiere
L1	Petres	35,35221°N	24,36223°E	10	27
L2	Xyloskalo	35,30642°N	23,91390°E	1411	3
L3	Argiroupoli	35,28717°N	24,33995°E	281	2
L4	Kournas See	35,33573°N	24,27400°E	23	18
L5	Xyloskalo	35,30763°N	23,91560°E	1311	3
L6	Askifou-Hochebene	35,26988°N	24,17425°E	786	14
L7	Moni Katholiko	35,59089°N	24,14858°E	84	19
L8	Festung Rethymnon	35,37230°N	24,47075°E	27	8
L9	Argiroupoli	35,29180°N	24,34038°E	207	2
L10	Brache bei Armeni	35,32177°N	24,46262°E	361	4
L11	Georgiopolis	35,35722°N	24,27022°E	2	12 (+4)
L12	Xyloskalo	35,30785°N	23,91637°E	1274	4
L13	Argiroupoli	35,28633°N	24,33840°E	274	3
L14	Kournas See	35,33540°N	24,27617°E	21	8
L15	Georgiopolis	35,35677°N	24,27185°E	3	7 (+10)
L16	Xyloskalo	35,30790°N	23,91668°E	1260	3
L17	Kalyvaki Beach	35,36558°N	24,26125°E	1	1 (+5)
L18	Armeni	35,31658°N	24,46107°E	365	3
L19	Xyloskalo	35,30832°N	23,91812°E	1249	1
L20	Straßenrand nahe Koufi	35,32427°N	24,35358°E	147	5
L21	Omalos-Hochebene	35,35622°N	23,91358°E	1132	1
L22	Askifou-Hochebene	35,31640°N	24,20717°E	584	1
L23	Preveli	35,15285°N	24,47105°E	92	2
L24	Xyloskalo	35,30748°N	23,91538°E	1325	6
L25	Kalyvaki Beach	35,36803°N	24,26087°E	15	1
L26	Georgiopolis	35,35683°N	24,27425°E	4	2
L27	Kalyvaki Beach	35,36487°N	24,26048°E	1	1

Steine und Streu in Salzmarsch, 2. Apr. 2008: 1 ♂ (PCJK); Mazedonien, Serres, Kerkini, Strymon-Flussebene, 21. Mai 2009: 1 ♂ (PCJK); Serres, Kerkini, Mezias, 23. Apr. 2010: 3 ♂♂ (PCJK); SPANIEN, Andalusien, bei San José, 36,80162°N 2,06868°W, 32 m ü. NN, steinige Ruderalfläche, fast kein Bewuchs, 27. Mrz. 2016: 1 ♂ (PCMS); Puerto del Viento, 36,78870°N 5,04873°W, 1127 m ü. NN, Steinflur, 17. Apr. 2017: 1 ♂ (PCMS); Embalse de Torrejón-Tajo, 39,77929°N 5,69514°W, 278 m ü. NN, grasiger Hang mit Büschen und kleinen Bäumen, 14. Apr. 2017: 1 ♀ (PCMS).

*Pellenes calvus* (Simon, 1868): GRIECHENLAND, Korfu, coll. O. Pickard-Cambridge: 1 ♂ (OUMNH 1745.25), eventuell Teil der Syntypus-Serie (Simmons in litt.).

*Pellenes epularis* (O. Pickard-Cambridge, 1872): ASERBAIDSCHAN, Absheron Halbinsel, Yeni-Surakhany, 24. Apr. 1999: 1 ♂, 1 ♀ (SMF 57554).

*Pellenes flavipalpis* (Lucas, 1853): GRIECHENLAND, Kreta, L1, Ruderalflur, 15. Mai 2018: 3 ♀♀ (PCMS); L1, zwi-

schon Steinen, 18. Mai 2018: 4 ♀♀ (PCMS); L6, auf Steinen, 19. Mai 2018: 3 ♂♂, 1 ♀ (PCMS).

*Pellenes geniculatus* (Simon, 1868): SPANIEN, Andalusien, Benalmádena, 36,58838°N 4,53770°W, 77 m ü. NN, auf steinigem Weg, Betonrinne, 16. Apr. 2017: 1 ♂, 2 ♀♀ (PCMS); Benalmádena, 36,58838°N 4,53770°W, 77 m ü. NN, Felsen, 20. Apr. 2017: 1 ♂, 4 ♀♀ (PCMS).

*Pellenes laevigatus* (Simon, 1868): GRIECHENLAND, Korfu, coll. O. Pickard-Cambridge: 1 ♂ (OUMNH 1747.16); PALESTINA?, coll. O. Pickard-Cambridge: 2 ♂♂, 1 ♀ (OUMNH 1833.58.67).

*Pellenes moreanus* Metzner, 1999: GRIECHENLAND, Halbinsel Peloponnes, Livadi unterhalb Livarzi am Erimathos-Fluss, 4. Jun. 1993: 1 ♂ (SMNK-ARA 01766 – Holotypus), 3 ♀♀ (SMNK-ARA 01767 – Paratypen).

*Pellenes nigrociliatus* (Simon, 1875): BULGARIEN, Arkutino, 42,32470°N 27,73176°E, 15 m ü. NN, Graudüne, 13. Mai 2018: 1 ♀ (PCMS); DEUTSCHLAND, Püttberge, 52,43765°N 13,70941°E, 38 m ü. NN, Binnendüne, 3. Mai 2013: 2 ♂♂, 2 ♀♀ (PCMS). GRIECHENLAND, Kreta, Ierapetra, 34,98333°N 25,78333°E, 2 m ü. NN, am Strand, am Rande einer Brache, unter abgestorbenen Blättern, 27. Apr. 2015: 1 ♂ (PCSL); Katelionas, 35,10000°N 26,11667°E, 516 m ü. NN, Trockenwiese, 29. Apr. 2015: 1 ♀ (PCSL).

**Derivatio nominis.** Nach dem Sohn des Autors, Florian, kurz Flori, der das Material am Locus typicus tatkräftig mit-gesammelt hat.

### Diagnose

Die Epigyne dieser Art zeigt die für die *P. nigrociliatus*-Gruppe (vgl. Metzner 1999, S. 124) als charakteristisch aufgeführten membranösen fensterartigen Gruben (Abb. 14a-h), lässt sich aber anhand ihrer markanten Struktur (Abb. 9-10, 13a-c, 14e) sehr einfach von allen anderen bereits beschriebenen Mitgliedern dieser Gruppe abgrenzen: Das Größenverhältnis von Epigynen-Gruben zu zentraler Epigynen-Tasche entspricht in etwa dem von *P. brevis* (Abb. 13d-f, 14f), deren Tasche aber mehr sklerotisiert ist. Außerdem ist die zentrale Tasche von *P. florii* median leicht verschmälert und apikal abgerundet (U-Form), während die von *P. brevis* sich von apikal nach basal stetig verbreitert und apikal spitzer zuläuft (V-Form). Bei *P. florii* wiederum sind die Rezeptakula viel dunkler und durchscheinender (Abb. 9, 13a-c, 14e), was dazu führt, dass sich im Gegensatz zu den anderen Mitgliedern der *P. nigrociliatus*-Gruppe atriale Lippe und Epigynallappen kaum von den restlichen Strukturen abgrenzen. Vom Habitus her (Abb. 6-8, 16e-f) ähnelt das Weibchen von *P. florii* keiner mir bekannten Art aus der *P. nigrociliatus*-Gruppe. Die Zeichnung des Prosoma (Abb. 6, 16e) und die sehr breite, lateral durchgängige und dicht mit weißen Haaren besetzte Längsbande des Opisthosoma (Abb. 6, 8, 16e) sind dabei besonders markant. Oberflächlich betrachtet, könnte man es anhand dieser Zeichnungsmerkmale höchstens mit dem Weibchen von *P. flavipalpis* (vgl. Abb. 16e, g) verwechseln, dessen Genitalmorphologie sich aber deutlich von *P. florii* unterscheidet (vgl. Abb. 14a, e).

Das Männchen von *P. florii* (Abb. 2-5, 11e, 12e, 15e-f) weist genitalmorphologisch sehr große Ähnlichkeit zu *P. brevis* (Abb. 11f, 12f) auf und unterscheidet sich nur geringfügig in der Form seiner Tibial-Apophyse des Pedipalpus

(Abb. 12e). Für eine eindeutige genitale Abgrenzung werden daher zusätzlich weibliche Tiere benötigt, da deren Morphologie sich deutlicher von *P. brevis* unterscheidet. Rein habituell (Abb. 2-4, 15e-f) unterscheidet sich das Männchen von *P. florii* allerdings sehr deutlich von *P. brevis*. Sehr auffällig ist zunächst die unterschiedliche Färbung. Während bei *P. brevis* sowohl Prosoma als auch Opisthosoma einheitlich dunkelbraun gefärbt sind (Abb. 15c), ist das Prosoma bei *P. florii* schwarz und das Opisthosoma orangebraun gefärbt (Abb. 15e). Das Prosoma von *P. florii* weist zudem im Frontalbereich, direkt hinter den vorderen Medianaugen, einen weißen Haarfleck auf (ähnlich *P. flavipalpis* – vgl. Abb. 15g), welcher unterschiedlich groß ausgebildet sein kann – bis hin zu nur wenigen weißen Haaren. Dieser Fleck fehlt bei *P. brevis*. Weiterhin befinden sich statt des Streifens aus weißen Haaren, der bei *P. brevis* von den vorderen Lateralaugen lateral bis zum hinteren Prosoma-Rand reicht und die hinteren Lateralaugen einrahmt (vgl. Abb. 15c), bei *P. florii* lediglich zwei große weiße Haarflecke hinter den hinteren Lateralaugen (Abb. 2, 4, 15e). Außerdem weist *P. florii* im Gegensatz zu *P. brevis* statt der zwei lateralen Schrägstreifen eine durchgängige laterale weiße Längsbande des Opisthosoma (Abb. 2, 4, 15e) und eine fehlende weiße Behaarung auf dem Femur des Pedipalpus auf (Abb. 3, 15f). Letzteres Merkmal grenzt die Spezies außerdem – on fast allen anderen im Gebiet bisher nachgewiesenen Arten der *P. nigrociliatus*-Gruppe ab, deren Pedipalpen zumindest an der Patella weiß behaart sind (vgl. Abb. 15b, d, h, j und Beschreibung des Pedipalpus von *P. ariger*, *P. brevis*, *P. diagonalis* (sub. *P. ostrinus*) und *P. geniculatus* in Simon (1868), *P. epularis* und *P. flavipalpis* (sub. *P. simoni* – siehe Kommentar zu *P. flavipalpis*) in Pickard-Cambridge (1872), *P. moreana* in Metzner (1999) sowie *P. laevigatus* nach direktem Vergleich (siehe Bemerkungen)). Einzig die Männchen von *P. siculus*, einer bisher nur für Sizilien nachgewiesenen Art, weisen durchgehend schwarze Palpen auf (Alicata & Cantarella 2000). Die Tiere lassen sich aber leicht durch die Form der Tibial-Apophyse des Pedipalpus (vgl. Abb. 7-8 in Alicata & Cantarella 2000) von *P. florii* abgrenzen.

### Diagnosis

The epigynum of the new species shows the same characteristic membranous window-like atria (Fig. 14a-h) as other members of the *P. nigrociliatus* group (compare Metzner 1999, p. 124), but can be easily distinguished from other described members of the group by its distinctive structure (Figs 9-10, 13a-c, 14e): while the relative size of the epigynal atria and central blind-ending pocket is similar to that seen in *P. brevis* (Figs 13d-f, 14f), its pocket is more strongly sclerotized than in the latter species. Moreover, the central pocket in *P. florii* is slightly narrowed in the middle and apically rounded (U-shaped), while that of *P. brevis* expands uniformly from apical to basal and is apically more pointed (V-shaped). Additionally, in *P. florii* the receptacula are much darker and more clearly visible through the cuticula (Figs 9, 13a-c, 14e), so that the atrial lip and epigynal flap are much less distinctly visible than in other members of the *P. nigrociliatus* group. The habitus (Figs 6-8, 16e-f) of female *P. florii* differs from all other members of the *P. nigrociliatus* group. The prosoma pattern (Figs 6, 16e) and the very broad, laterally uninterrupted lateral band of the opisthosoma, densely covered with white hairs, are particularly distinct (Figs 6, 8, 16e). Superficially,

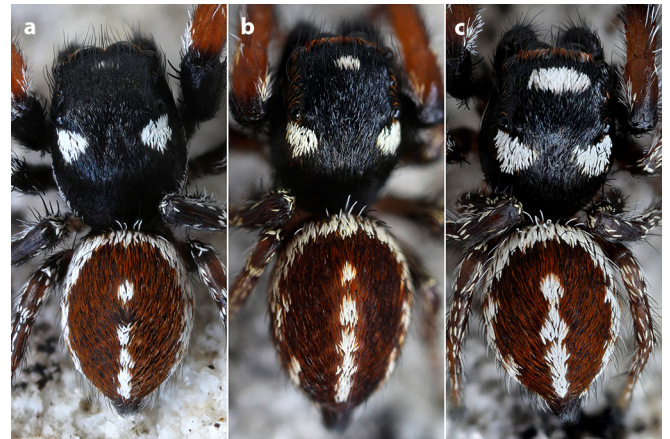


Abb. 2a-c: *Pellenes florii*, Männchen-Variationen, Dorsalansicht  
Fig. 2a-c: *Pellenes florii*, variations in male habitus, dorsal view



Abb. 3: *Pellenes florii*, Männchen, Frontalansicht  
Fig. 3: *Pellenes florii*, male, habitus, frontal view



Abb. 4: *Pellenes florii*, Männchen, Lateralansicht  
Fig. 4: *Pellenes florii*, male, habitus, lateral view

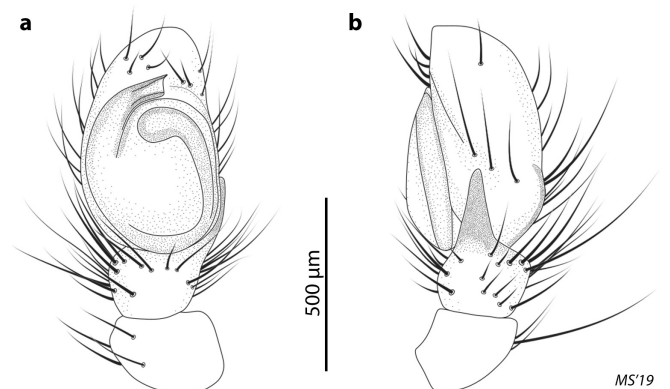
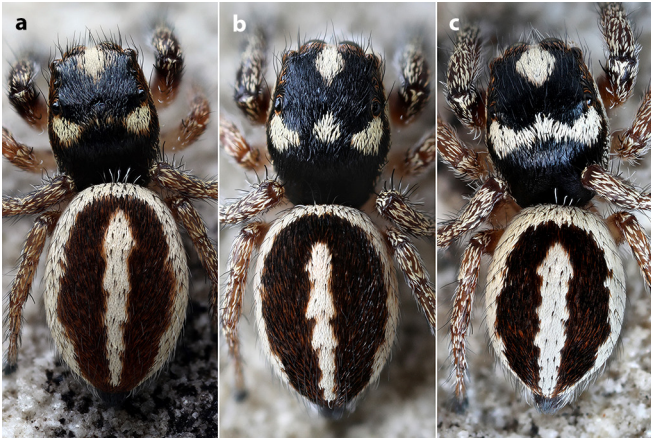


Abb. 5a-b: *Pellenes florii*, Männchen, linker Pedipalpus. a. ventral; b. retrolateral  
Fig. 5a-b: *Pellenes florii*, male, left palp. a. ventral view; b. retrolateral view



**Abb. 6a-c:** *Pellenes florii*, Weibchen-Variationen, Dorsalansicht; **a.** Holotypus

**Fig. 6a-c:** *Pellenes florii*, variations in female habitus, dorsal view; **a.** holotype



**Abb. 7:** *Pellenes florii*, Holotypus, Weibchen, Frontalansicht

**Fig. 7:** *Pellenes florii*, holotype, female, habitus, frontal view



**Abb. 8:** *Pellenes florii*, Holotypus, Weibchen, Lateralansicht

**Fig. 8:** *Pellenes florii*, holotype, female, habitus, lateral view

the female could be confused with female *P. flavipalpis* (compare Figs 16e, g), which, however, differs considerably in its genital morphology (compare Fig. 14a, e).

The male of *P. florii* (Figs 2-5, 11e, 12e, 15e-f) is very similar to that of *P. brevis* in its genital morphology (Figs 11f, 12f) and differs only slightly in the shape of the tibial apophysis of the pedipalp (Fig. 12e). An unambiguous genital identification therefore relies on the availability of female specimens, which are more obviously distinct from *P. brevis*. However, the habitus of *P. florii* males (Figs 2-4, 15e-f) is clearly different from that of *P. brevis*. The difference in coloration is most striking: while in *P. brevis* both the prosoma and the opist-

hosoma are uniformly dark brown (Fig. 15c), in *P. florii* the prosoma is black, the opisthosoma orange-brown (Fig. 15e). Additionally, the prosoma of *P. florii* carries a frontal white patch of hairs directly behind the anterior median eyes (similar to that of *P. flavipalpis*; Fig. 15g), which can be variable in size and sometimes consists of only a few white hairs. This patch is missing in *P. brevis*. Moreover, instead of the lateral band of white hairs that in *P. brevis* extends from the anterior lateral eyes to the posterior end of the prosoma and surrounds the posterior lateral eyes (compare Fig. 15c), *P. florii* merely shows two large white patches of hair behind the posterior lateral eyes (Figs 2, 4, 15e). Finally, *P. florii* bears one continuous lateral white band along the margin of the opisthosoma (Figs 2, 4, 15e), in contrast to the two separate lateral stripes seen in *P. brevis*, and lacks the white hairs on the pedipalpal femora (Figs 3, 15f). The latter character also distinguishes the species from almost all other members of the *P. nigrociliatus* group in the area, which usually have white hair at least on the pedipalpal patellae (compare Figs 15b, d, h, j and the descriptions of the pedipalp of *P. arciger*, *P. brevis*, *P. diagonalis* (sub *P. ostrinus*) and *P. geniculatus* in Simon (1868), *P. epularis* and *P. flavipalpis* (sub *P. simoni* – see comment on *P. flavipalpis*) in Pickard-Cambridge (1872), *P. moreana* in Metzner (1999), as well as *P. laevigatus* in direct comparison; see comments below). Only the male of *P. siculus*, currently only known from Sicily, has uniformly black pedipalps (Alicata & Cantarella 2000). However, this species is easily distinguished from *P. florii* on the basis of the tibial apophysis of the pedipalp (compare Figs 7-8 in Alicata & Cantarella 2000).

### Beschreibung nach Alkoholmaterial

♂: Prosoma dorsal dunkelbraun mit dünnem, weiß behaartem schwarzen Rand. Kopfplatte schwarz mit schwarzen Schuppenhaaren, hinter den vorderen Medianaugen weiß beschuppter Fleck, welcher unterschiedlich groß ausgebildet sein kann – bis hin zu nur wenigen weißen Haaren. Hinter den hinteren Lateralaugen große Flecken aus weißen Schuppenhaaren. Flanken und Bereich um die hinteren Lateralaugen mit wenigen rotbraunen Haaren. Clypeus-Unterkante horizontal weiß beschuppt, Chelizeren mit drei vertikalen Linien aus weißen Schuppenhaaren; Gesichtsaugenringbehaarung orangebraun. Labium und Maxillen braun, Sternum hell orangebraun, leicht weiß behaart. Opisthosoma dorsal fleckig rotbraun mit dichter orangebrauner Behaarung und weißer Äquatorialbande bis zur Basis der Spinnwarzen. Mittelstrich aus miteinander verbundenen Punkten weißer Schuppenhaare vom zweiten Opisthosoma-Viertel gleichbleibend breit bis zur Spinnwarzen-Basis. Spinnwarzen braun. Alle Beine hell orange, nur Femur und Metatarsus des Beinpaars I dunkelbraun. Pedipalpus braun ohne weiße Schuppenhaare, Cymbiumspitze grau. Tibial-Apophyse gerade mit einseitig leicht abgeschrägter Spitze. Gesamte Palpusmorphologie in Abb. 5 dargestellt. Maße (n = 6; in mm): Prosoma-Länge (PL): 1,93–2,16; Prosoma-Breite (PB): 1,36–1,68; Opisthosoma-Länge (OL): 1,48–2,30; Opisthosoma-Breite (OB): 1,05–1,50; Breite der Augenreihe 1 (AR 1): 1,14–1,28; Breite von Augenreihe 3 (AR 3): 1,21–1,42; Länge des Okularquadrats (OKL): 1,06–1,11. Verhältnisse: PL : PB = 1,29–1,42 : 1; AR 1 : AR 3 = 1 : 1,06–1,11.

♀: Prosoma dorsal braun mit dünnem, weiß behaartem schwarzen Rand. Darüber hinaus lateral großflächig weiß

behaart. Kopfplatte schwarz mit schwarzen Schuppenhaaren, hinter den vorderen Medianaugen großer rhombusförmiger, weiß beschuppeter Fleck, der zwischen den vorderen Medianaugen mit dem Clypeus verbunden ist. Hinter den hinteren Lateralaugen ebenfalls große Flecken aus weißen Schuppenhaaren. Außerdem ein weiterer weißer Haarfleck zwischen ebendiesen oder sogar mit den äußeren Flecken in Form eines Zickzackbandes verbunden. Flanken und Bereich um die hinteren Lateralaugen wie beim ♂ mit rotbraunen Haaren. Clypeus dicht weiß behaart. Gesichtsaugenringbehaarung dorsal und zwischen vorderen Medianaugen und vorderen Lateralaugen orangebraun, ventral und zwischen den vorderen Medianaugen weiß. Labium und Maxillen hell orange, Sternum etwas dunkler mit braunen Flecken und leichter weißer Behaarung. Opisthosoma dorsal fleckig rotbraun mit dichter brauner Behaarung, je nach Tier mehr oder weniger durchsetzt mit orangebraunen Haaren. Opisthosoma genau wie beim ♂ mit bis zur Basis der Spinnwarzen durchgehender, weißer Äquatorialbande, jedoch noch breiter und dichter behaart als bei diesem. Weiß behaarter Mittelstrich, ebenfalls breiter und dichter behaart als beim ♂ und bereits ab dem zweiten Opisthosoma-Fünftel beginnend bis zur Spinnwarzen-Basis. Spinnwarzen braun. Beinpaar I orangebraun, Femur dorsal etwas heller. Beinpaare II–IV hellorange, jeweils die oberen zwei Drittel des Femur weißlich gelb. Pedipalpus weißlich gelb mit weißen Haaren. Epigynen-Gruben und zentrale Epigynen-Tasche enden anterior etwa auf derselben Höhe, umgekehrt U-förmige Tasche median verschmälert, apikal abgerundet und wenig sklerotisiert, Rezeptakula sehr deutlich sichtbar, atriale Lippe und Epigynallappen nur schwer abgrenzbar. Interne Strukturen wie in Abb. 10 dargestellt. Maße (n = 4; in mm): Prosoma-Länge (PL): 2,27–2,60; Prosoma-Breite (PB): 1,69–1,98; Opisthosoma-Länge (OL): 2,49–2,97; Opisthosoma-Breite (OB): 1,60–2,04; Breite der Augenreihe 1 (AR 1): 1,31–1,51; Breite von Augenreihe 3 (AR 3): 1,46–1,78; Länge des Okularquadrats (OKL): 0,9–1,1. Verhältnisse: PL : PB = 1,28–1,34 : 1; AR 1 : AR 3 = 1 : 1,11–1,18.

### Description of material in alcohol

♂: prosoma dorsally dark brown with a thin black margin covered in white hairs. Cephalic region black with black scales, a white patch of scales behind the anterior median eyes, which can be variable in size – sometimes just consisting of a few white hairs. Behind the posterior lateral eyes large patches of white scales occur. The sides of the prosoma and the area around the posterior lateral eyes with a few reddish brown hairs. Lower margin of the clypeus with horizontal line of white scales. Ring of hairs around the anterior eyes orange-brown. Labium and maxillae brown, sternum light orange-brown, with a few white hairs. Opisthosoma dorsally patchy reddish-brown with dense orange-brown pubescence and white equatorial band extending to the base of the spinnerets. Central line consisting of connected spots of white scales, extending at constant width from the second quarter of the opisthosoma to the base of the spinnerets. Spinnerets brown. All legs light orange, only femur and metatarsus of leg I dark brown. Pedipalp brown without white scales. Tip of cymbium grey. Tibial apophysis straight, the tip slightly tapering on one side. The pedipalp morphology is illustrated in fig. 5. Measurements (n = 6; in mm): prosoma length (PL): 1.93–2.16;



Abb. 9: *Pellenes florii*, Holotypus, Weibchen, Epigyne (präpariert)  
Fig. 9: *Pellenes florii*, holotype, female, epigyne (dissected)

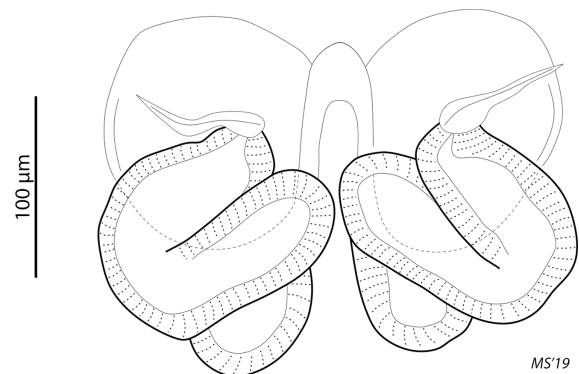
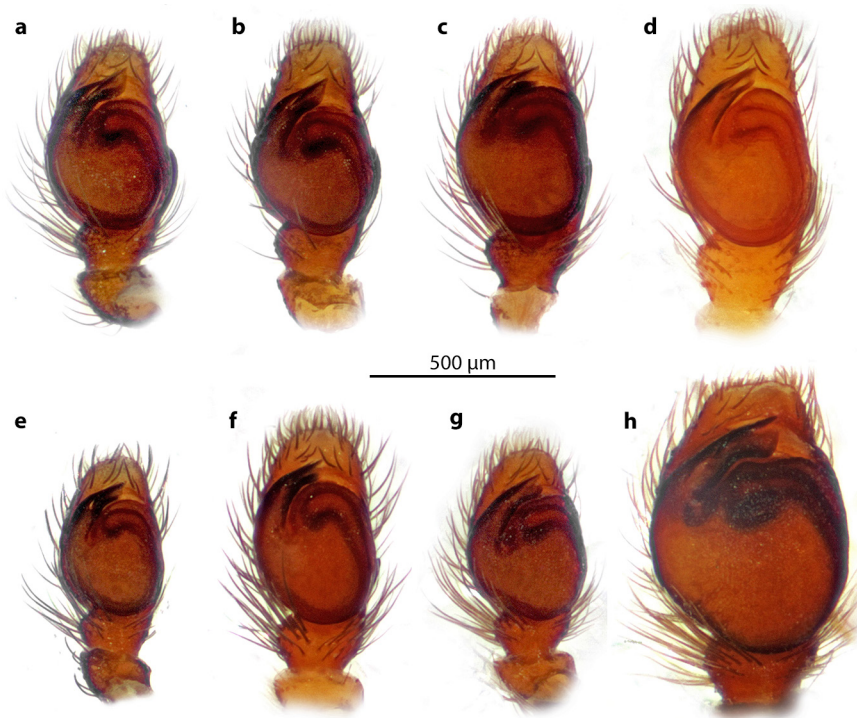


Abb. 10: *Pellenes florii*, Weibchen, Vulva  
Fig. 10: *Pellenes florii*, female, vulva

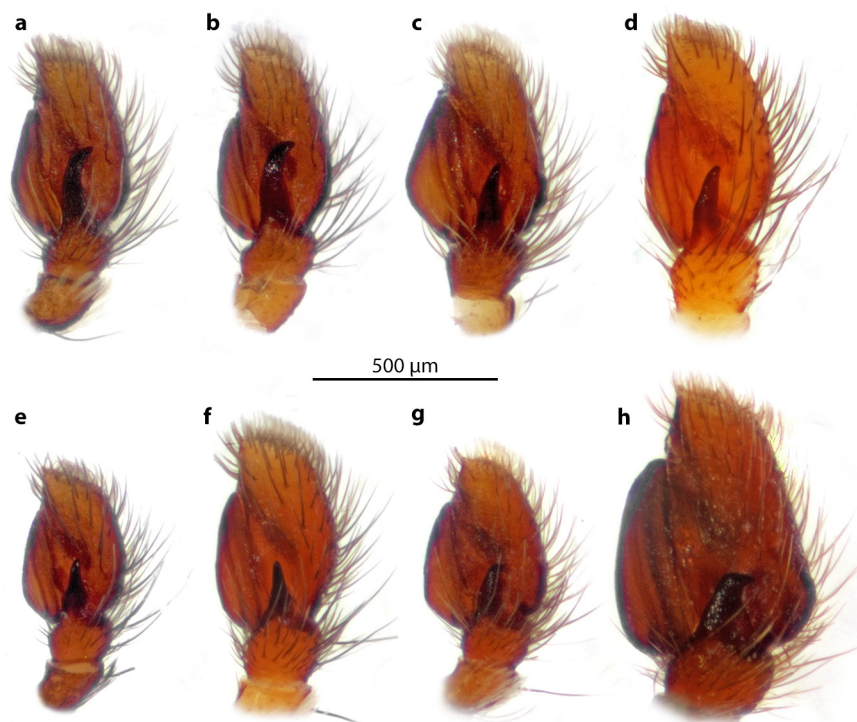
prosoma width (PW): 1.36–1.68; opisthosoma length (OL): 1.48–2.30; opisthosoma width (OW): 1.05–1.50; width of anterior eye row (AR 1): 1.14–1.28; distance between posterior lateral eyes (AR 3): 1.21–1.42; length of ocular square (OKL): 1.06–1.11. ratios: PL : PW = 1.29–1.42 : 1; AR 1 : AR 3 = 1 : 1.06–1.11.

♀: Prosoma dorsally brown with a thin black margin covered in white hairs. Laterally extensively covered in white hairs. Cephalic region black with black scales. Behind the anterior median eyes a large diamond-shaped patch of white scales, which connects to the clypeus between the anterior median eyes. Behind the posterior lateral eyes additional white patches of scales. Between these patches, and sometimes connected to them in the shape of a zigzag band, there is an additional white patch of hairs. The sides of the prosoma and the area around the posterior lateral eyes with a few reddish brown hairs as in the ♂. Clypeus densely covered in white hairs. Ring of hairs around the anterior eyes dorsally and between the anterior median and lateral eyes orange-brown, ventrally and between the anterior median eyes white. Labium and maxillae light orange, sternum slightly darker with brown spots and a few white hairs. Opisthosoma dorsally patchy reddish-brown with dense brown pubescence, with a variable sprinkling of orange-brown hairs. White equatorial band extending to the base of the spinnerets as in the ♂, but broader and more densely covered in hair. White central line also broader and more densely covered than in the ♂, and extending already from the second fifth of the opisthosoma to the base of the spinnerets. Spinnerets brown. Legs I orange-brown, femur dorsally a bit lighter. Legs II–IV light orange,



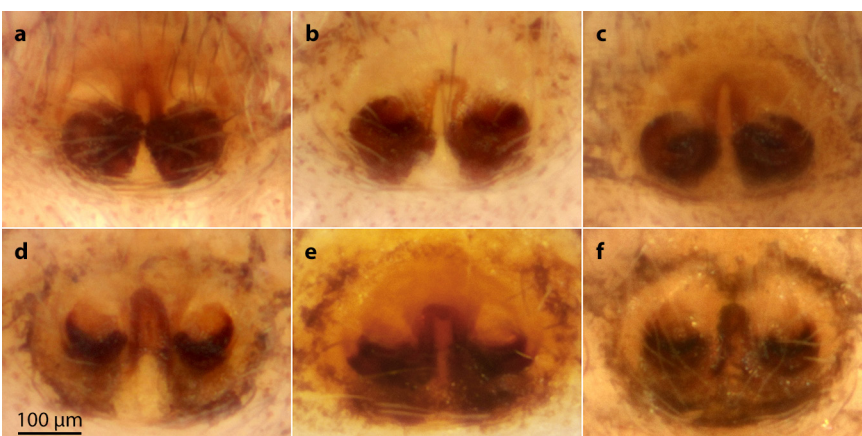
**Abb. 11:** Die Pedipalpen der *Pellenes nigrociliatus*-Gruppe sind nur schwer unterscheidbar: Linker Pedipalpus ventral. **a.** *P. flavipalpis* aus Kreta; **b.** *P. geniculatus* aus Andalusien; **c.** *P. nigrociliatus* aus Deutschland; **d.** *P. arciger* aus Korsika; **e.** *P. florii*; **f.** *P. brevis* aus Spanien; **g.** *P. epularis* aus Aserbaidshan; **h.** *P. moreana* aus Griechenland (Holotypus)

**Fig. 11:** The pedipalps of the *Pellenes nigrociliatus* group are hardly distinguishable: Left pedipalp ventral view. **a.** *P. flavipalpis* from Crete; **b.** *P. geniculatus* from Andalusia; **c.** *P. nigrociliatus* from Germany; **d.** *P. arciger* from Corsica; **e.** *P. florii*; **f.** *P. brevis* from Spain; **g.** *P. epularis* from Azerbaijan; **h.** *P. moreana* from Greece (holotype)



**Abb. 12:** Die Pedipalpen der *Pellenes nigrociliatus*-Gruppe sind nur schwer unterscheidbar: linker Pedipalpus retrolateral. **a.** *P. flavipalpis* aus Kreta; **b.** *P. geniculatus* aus Andalusien; **c.** *P. nigrociliatus* aus Deutschland; **d.** *P. arciger* aus Korsika; **e.** *P. florii*; **f.** *P. brevis* aus Spanien; **g.** *P. epularis* aus Aserbaidshan; **h.** *P. moreana* aus Griechenland (Holotypus)

**Fig. 12:** The pedipalps of the *Pellenes nigrociliatus* group are hardly distinguishable: left pedipalp retrolateral view. **a.** *P. flavipalpis* from Crete; **b.** *P. geniculatus* from Andalusia; **c.** *P. nigrociliatus* from Germany; **d.** *P. arciger* from Corsica; **e.** *P. florii*; **f.** *P. brevis* from Spain; **g.** *P. epularis* from Azerbaijan; **h.** *P. moreana* from Greece (holotype)



**Abb. 13:** *Pellenes*, Weibchen, Epigyne (am Tier). **a-c.** *P. florii*; **d-f.** *P. brevis*. **d.** aus Bulgarien; **e.** aus Andalusien; **f.** aus Griechenland

**Fig. 13:** *Pellenes*, female, epigyne (not dissected). **a-c.** *P. florii*; **d-f.** *P. brevis*. **d.** from Bulgaria; **e.** from Andalusia; **f.** from Greece

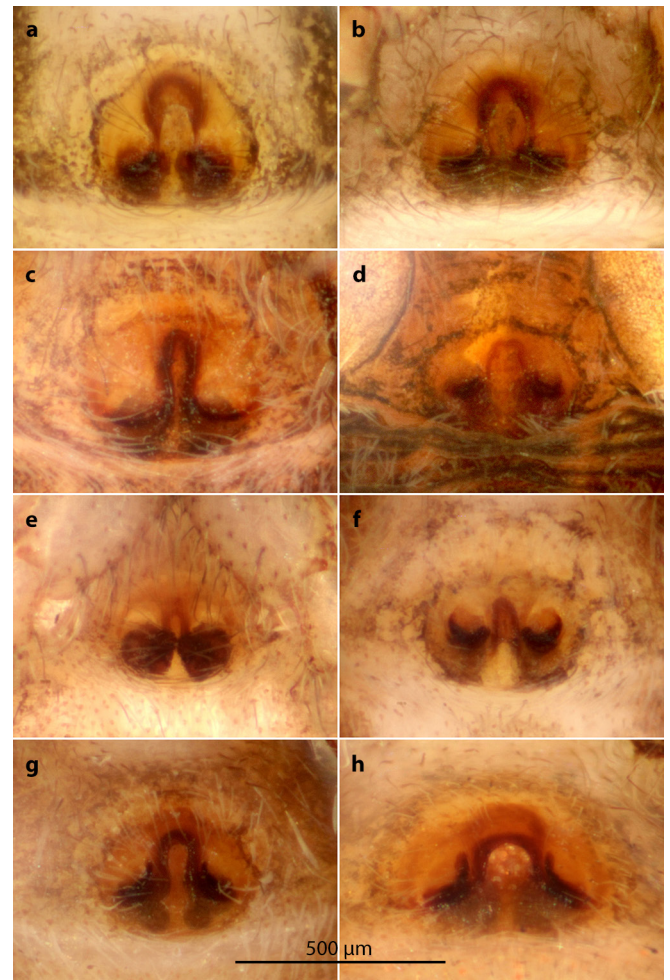
the upper two thirds of the femur in each case whitish yellow. Pedipalp whitish yellow with white hairs. Epigynal atria and central blind-ending pocket extend to approximately the same position anteriorly. U-shaped epigynal pocket slightly narrowed in the middle and apically rounded, weakly sclerotized. Receptacula very clearly visible, atrial lip and epigynal flap difficult to distinguish. Internal structures as illustrated in fig. 10. Measurements (n = 4; in mm): prosoma length (PL): 2.27–2.60; prosoma width (PW): 1.69–1.98; opisthosoma length (OL): 2.49–2.97; opisthosoma width (OW): 1.6–2.04; width of anterior eye row (ER 1): 1.31–1.51; distance between posterior lateral eyes: 1.46–1.78 (ER 3); length of ocular square (OKL): 0.9–1.1. ratios: PL : PW = 1.28–1.34 : 1; AR 1 : AR 3 = 1 : 1.11–1.18.

**Verbreitung.** Nur von der Typuslokalität bekannt.

**Bemerkungen.** Die Art trat am Fundort syntop mit *P. flavipalpis* und *P. nigrociliatus* auf. Trotz ihrer innerartlichen mehr oder weniger großen Variationsbreite ließen sich alle drei Arten bereits beim Sammeln am Fundort leicht habituell von den jeweils anderen unterscheiden.

Für die Abgrenzung von *Pellenes laevigatus* (Simon, 1868) standen hochauflösende Fotos von Material aus der Sammlung von Pickard-Cambridge zur Verfügung, aus welcher auch die Tiere stammten, nach denen Simon (1868) die Art von Korfu beschrieb. Trotz teilweise desolaten Zustands des Materials, der sich bereits in Simons Beschreibungen niederschlug, waren die markanten Stellen der Behaarung noch erkennbar, nach denen eine habituelle Unterscheidung erfolgen konnte. Insbesondere sind die Patellen des männlichen Pedipalpus dicht mit weißen Schuppenhaaren besetzt und scheint der weiße Zwischenaugenfleck auf dem Prosoma zu fehlen. Hinsichtlich der Genitalien sind die Unterschiede sogar recht deutlich. Die Tibial-Apophyse der Palpen aller vier im Material vorhandenen Männchen ist stark gebogen – ähnlich der von *P. flavipalpis* bzw. *P. geniculatus*. Auch die Epigynenstruktur des einzigen Weibchens in der Sammlung ähnelt diesen beiden Arten. Allerdings muss eine kleine Restunsicherheit bleiben, solange nicht eindeutig geklärt ist, ob es sich beim Männchen aus Korfu (OUMNH 1747.16) tatsächlich um einen Syntypus von *P. laevigatus* handelt. Falls dem so ist, sollte auch überprüft werden, ob es sich bei der Art nicht eventuell um ein Synonym von *P. flavipalpis* oder *P. geniculatus* handelt.

*Pellenes calvus* (Simon, 1868) wurde bereits durch Simon selbst zu *P. laevigatus* gestellt (Simon 1884). Dem Autor standen hochauflösende Digitalfotos eines mit „*Attus calvus*“ beschrifteten Männchens (OUMNH 1745.25; vgl. Abb. auf S.101 in Prószyński (1984)) aus der Sammlung von Pickard-Cambridge zur Verfügung. Das Tier stammt vom Locus typicus Korfu und mit Pickard-Cambridge vom selben Sammler, der Simon auch den Typus zur Verfügung stellte, nach dem dieser die Art ursprünglich beschrieb. Warum Simon (1868) die Art zunächst nach einem Jungtier aus derselben Sammlung beschreibt und ob es das oben erwähnte Männchen ist, was Simon (1884) später zur Synonymisierung mit *P. laevigatus* bewegte, muss offen bleiben. Laut Logunov et al. (1999) merkt Roewer (1955) an, dass es sich bei *Pellenes calvus* eventuell um ein älteres Synonym von *P. epularis* handeln könnte und dass Prószyński (1990) diesem Hinweis folgt und die Art mit *P. epularis* synonymisiert. Bei Roewer (1955) kann der Autor keinen derartigen Vermerk finden. Vielmehr führt Roewer *P. calvus* als Synonym von *P. laevi-*



**Abb. 14:** *Pellenes*, Weibchen, Epigyne (am Tier). **a.** *P. flavipalpis* aus Kreta; **b.** *P. geniculatus* aus Andalusien; **c.** *P. nigrociliatus* aus Bulgarien; **d.** *P. arciger* aus Griechenland; **e.** *P. florii* aus Kreta; **f.** *P. brevis* aus Bulgarien; **g.** *P. epularis* aus Aserbaidschan; **h.** *P. moreana* aus Griechenland (Paratypus)

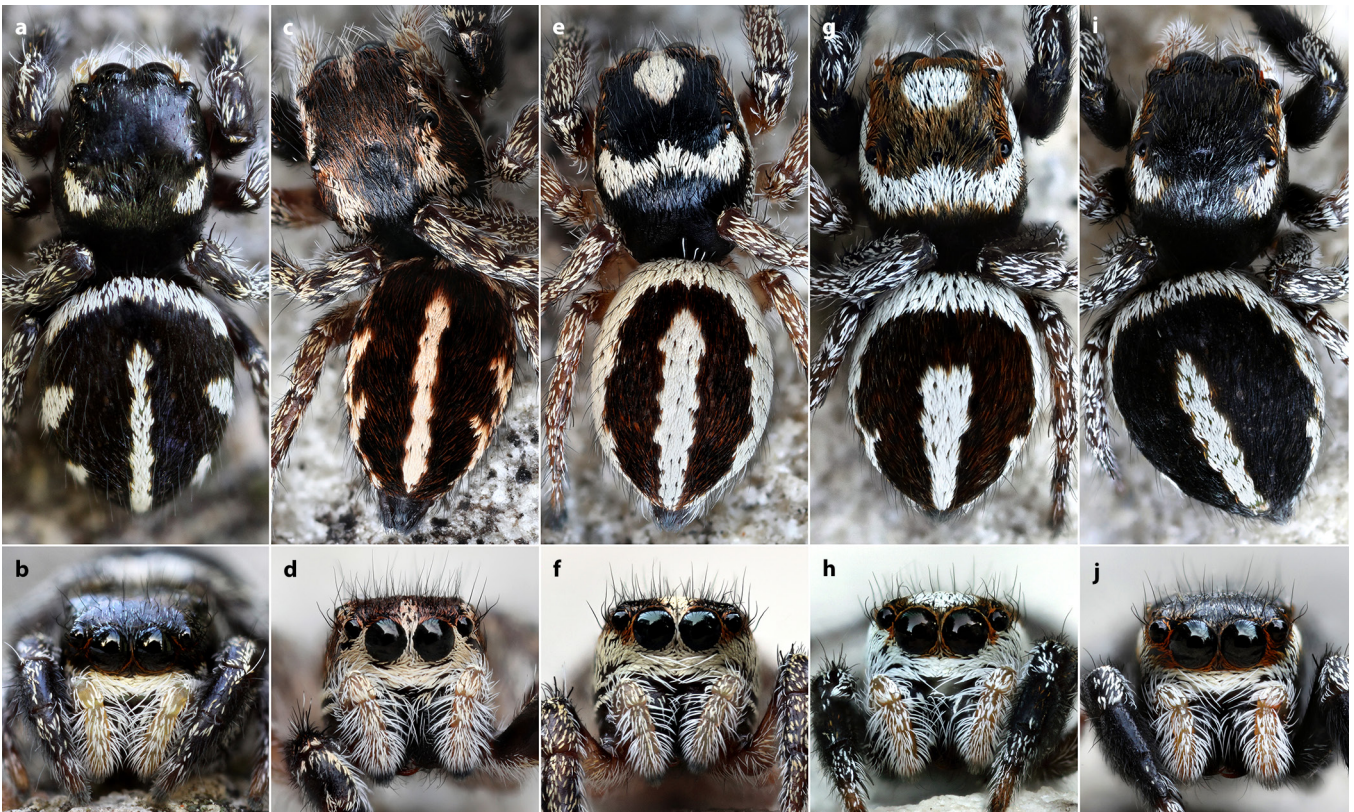
**Fig. 14:** *Pellenes*, female, epigyne (not dissected). **a.** *P. flavipalpis* from Crete; **b.** *P. geniculatus* from Andalusia; **c.** *P. nigrociliatus* from Bulgaria; **d.** *P. arciger* from Greece; **e.** *P. florii* from Crete; **f.** *P. brevis* from Bulgaria; **g.** *P. epularis* from Azerbaijan; **h.** *P. moreana* from Greece (paratype)

*gatus*. Falls es sich beim oben aufgeführten Tier vom Locus typicus aus der Sammlung Pickard-Cambridge tatsächlich um dieselbe Art handelt, wie das von Simon ursprünglich als *P. calvus* beschriebene Jungtier und das vom Autor untersuchte und oben bereits besprochene Material wirklich *P. laevigatus* zeigt, sind beide Synonymisierungen unverständlich. Die nicht gebogene Tibial-Apophyse des Tieres entspricht weder der von *P. epularis* noch der von *P. laevigatus*. Warum Prószyński (1990) *P. calvus* zu *P. epularis* stellt, obwohl dieser dasselbe Männchen aus der Pickard-Cambridge Sammlung untersucht hat wie der Autor, ist nicht nachvollziehbar. Es bedarf weiterer Nachforschungen, ob es sich beim Tier aus Korfu (OUMNH 1745.25) tatsächlich um einen Syntypus von *P. calvus* handelt (Simmons in litt.). Falls dem so wäre, ist eine erneute Überprüfung hinsichtlich der Synonymie notwendig. Alle zentral-asiatischen *Pellenes calvus* gehören laut Logunov et al. (1999) zu *P. allegrii* bzw. *P. epularis*.

Ein direkter Vergleich mit dem Typusmaterial von *P. siculus* war leider aufgrund der momentanen Renovierung des Zoologischen Museums in Catania, wo dieses aufbewahrt wird, nicht möglich (Fabio Vignianisi in litt.). Die Abbildun-



**Abb. 15:** *Pellenes* Männchen. **a-b.** *P. nigrociliatus* aus Deutschland. **a.** dorsal; **b.** frontal. **c-d.** *P. brevis* aus Spanien. **c.** dorsal; **d.** frontal. **e-f.** *P. florii*. **e.** dorsal; **f.** frontal. **g-h.** *P. flavipalpis* aus Kreta. **g.** dorsal; **h.** frontal. **i-j.** *P. geniculatus* aus Andalusien. **i.** dorsal; **j.** frontal  
**Fig. 15:** *Pellenes* males. **a-b.** *P. nigrociliatus* from Germany. **a.** dorsal view; **b.** frontal view. **c-d.** *P. brevis* from Spain. **c.** dorsal view; **d.** frontal view. **e-f.** *P. florii*. **e.** dorsal view; **f.** frontal view. **g-h.** *P. flavipalpis* from Crete. **g.** dorsal view; **h.** frontal view. **i-j.** *P. geniculatus* from Andalusia. **i.** dorsal view; **j.** frontal view



**Abb. 16:** *Pellenes* Weibchen. **a-b.** *P. nigrociliatus* aus Deutschland. **a.** dorsal; **b.** frontal. **c-d.** *P. brevis* aus Spanien. **c.** dorsal; **d.** frontal. **e-f.** *P. florii*. **e.** dorsal; **f.** frontal. **g-h.** *P. flavipalpis* aus Kreta. **g.** dorsal; **h.** frontal. **i-j.** *P. geniculatus* aus Andalusien. **i.** dorsal; **j.** frontal  
**Fig. 16:** *Pellenes* females. **a-b.** *P. nigrociliatus* from Germany. **a.** dorsal view; **b.** frontal view. **c-d.** *P. brevis* from Spain. **c.** dorsal view; **d.** frontal view. **e-f.** *P. florii*. **e.** dorsal view; **f.** frontal view. **g-h.** *P. flavipalpis* from Crete. **g.** dorsal view; **h.** frontal view. **i-j.** *P. geniculatus* from Andalusia. **i.** dorsal view; **j.** frontal view

gen und die Beschreibung in Alicata & Cantarella (2000) waren für eine Abgrenzung der Art allerdings aussagekräftig genug.

Normalerweise werden Färbungsunterschiede in der Spinnentaxonomie nur sehr zögernd als diagnostische Merkmale verwendet; gerade bei den genitalmorphologisch sehr konservativen Springspinnen ist dies aber im Einzelfall durchaus gerechtfertigt, insbesondere wenn das Vorliegen von gut dokumentiertem Lebendmaterial eine Verfälschung der Färbungsunterschiede durch Konservierungsartefakte ausschließt. Entscheidend ist im Fall von *P. florii*, dass die diskontinuierlichen Unterschiede in der Färbung auch vollkommen mit den subtilen, aber konsistenten genitalmorphologischen Unterschieden korrelieren (Abb. 13a-f), die im Vorgehenden beschrieben werden. Dabei liegen letztere deutlich außerhalb der Variationsbreite, die bei Tieren dieser Artengruppe intraspezifisch zu erwarten wäre.

Eventuell handelt es sich bei *P. florii* um eine sehr nahverwandte Schwesternart von *P. brevis*, die diese auf den östlichen griechischen Inseln ablöst, ähnlich dem Paar *Habrocestum graecum* Dalmas, 1920 / *egaeum*. Beim einzigen bisherigen griechischen Insel-Nachweis von *P. brevis* aus Rhodos (Caporiacco 1948) könnte es sich daher durchaus auch um *P. florii* handeln. Di Caporiaccos Material ist jedoch nicht mehr auffindbar (Metzner 1999) und so muss dies leider nur eine Vermutung bleiben. Auf der anderen Seite sollten alle bisherigen Nachweise von *P. brevis* vom griechischen Festland dahingehend überprüft werden. Beim von A. Senglet auf der Peloponnes-Halbinsel und von J. Van Keer auf Lesbos und in Mazedonien gesammelten Material handelt es sich zweifelsfrei um *P. brevis*. Es wurde vom Autor untersucht und direkt mit dem Typen-Material von *P. florii* verglichen.

#### Angaben zu weiteren Arten

*Aelurillus cretensis* Azarkina, 2002 (Abb. 17-18)

GRIECHENLAND, Kreta, L2, auf Steinen, 14. Mai 2018: 1 ♂, 1 ♀; L3, Schotterweg, 18. Mai 2018: 1 ♀.

**Bestimmung.** Azarkina & Komnenov (2015), Azarkina (2002)

**Verbreitung.** Griechenland (Kreta) (WSC 2020).

*Chalcoscirtus infimus* (Simon, 1868)

GRIECHENLAND, Kreta, L4, hohes Gras, 13. Mai 2018: 1 ♀; L5, unter Steinen, 14. Mai 2018: 2 ♂♂, 1 ♀; L4, Phrygana, 17. Mai 2018: 1 ♀; L6, auf Steinen, 19. Mai 2018: 1 ♀.

**Bestimmung.** Logunov & Marusik (1999), Metzner (1999).

**Verbreitung.** Mediterran, Zentral und Südost-Europa, Russland (Europa), Kaukasus, Kasachstan, Zentralasien (WSC 2020).

*Euophrys rufibarbis* (Simon, 1868)

GRIECHENLAND, Kreta, L7, unter Steinen, 10. Mai 2018: 1 j – Reifehäutung 27. Okt. 2018: 1 ♀; L8, unter Steinen, 12. Mai 2018: 8 jj – Reifehäutung 2. Okt. 2018: 1 ♂, 25. Okt. 2018: 1 ♂, 27. Okt. 2018: 2 ♂♂, 6. Nov. 2018: 1 ♂, 14. Nov. 2018: 1 ♂, 17. Nov. 2018: 1 ♂, 3. Jan. 2019: 1 ♀; L1, zwischen Steinen, 18. Mai 2018: 2 jj – Reifehäutung 24. Okt. 2018: 1 ♂, 15. Dez. 2018: 1 ♀.

**Bestimmung.** Metzner (1999).

**Verbreitung.** Südeuropa, Nordafrika, Türkei, China (WSC 2020).



Abb. 17: *Aelurillus cretensis*, Männchen, dorsal  
Fig. 17: *Aelurillus cretensis*, male, dorsal view



Abb. 18: *Aelurillus cretensis*, Männchen, frontal  
Fig. 18: *Aelurillus cretensis*, male, frontal view

*Euophrys sulphurea* (L. Koch, 1867)

GRIECHENLAND, Kreta, L7, unter Steinen, 10. Mai 2018: 1 ♀; L9, unter Steinen, 18. Mai 2018: 1 ♀; L6, unter Steinen, 19. Mai 2018: 2 ♀♀.

**Bestimmung.** Metzner (1999).

**Verbreitung.** Südeuropa, Türkei, Syrien, Iran? (WSC 2020).

*Evarcha jucunda* (Lucas, 1846)

GRIECHENLAND, Kreta, L9, Laub, 18. Mai 2018: 1 j – Reifehäutung 27. Jun. 2018: 1 ♀.

**Bestimmung.** Logunov (2015), Metzner (1999).

**Verbreitung.** Kanarische Inseln, mediterran. Eingeführt in Belgien und Deutschland (WSC 2020).

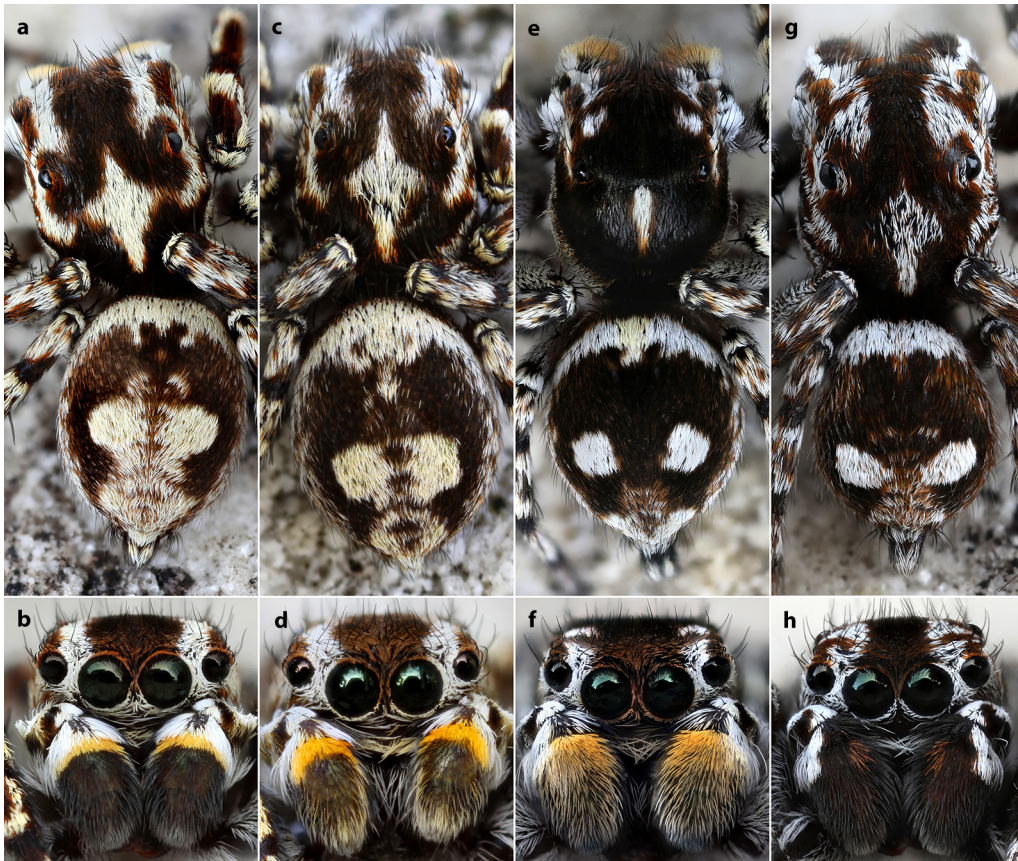
*Habrocestum egaeum* Metzner, 1999 (Abb. 19e-h)

GRIECHENLAND, Kreta, L7, auf Steinen, 10. Mai 2018: 2 ♂♂, 1 ♀; L10, auf Steinen, 11. Mai 2018: 1 j – Reifehäutung 6. Jun. 2018: 1 ♂; L11, Eukalyptuslaub, 11. Mai 2018: 1 ♂; L12, auf Steinen, 14. Mai 2018: 1 ♂, 3 jj – Reifehäutung 31. Aug. 2018: 1 ♂, 8. Sep. 2018: 1 ♂, 25. Okt. 2018: 1 ♀; L13, auf Steinen, 18. Mai 2018: 1 ♂.

**Bestimmung.** Metzner (1999).

**Verbreitung.** Griechenland (Inseln, Kreta), Türkei (WSC 2020).

Interessant bei dieser Art ist die große Variationsbreite bezüglich der Färbung und Musterung bei den Männchen



**Abb. 19:** *Habrocestum egaeum*, Männchen-Variationen. **a-b.** aus Rhodos. **a.** dorsal; **b.** frontal. **c-d.** aus Kos. **c.** dorsal; **d.** frontal. **e-f.** aus Kreta (L12). **e.** dorsal; **f.** frontal. **g-h.** aus Kreta (L7). **g.** dorsal; **h.** frontal

**Fig. 19:** *Habrocestum egaeum*, variation in males. **a-b.** from Rhodes. **a.** dorsal view; **b.** frontal view. **c-d.** from Kos. **c.** dorsal view; **d.** frontal view. **e-f.** from Crete (L12). **e.** dorsal view; **f.** frontal view. **g-h.** from Crete (L7). **g.** dorsal view; **h.** frontal view

(Abb. 19a-h), die dem Autor während dreier Sammelexkursionen nach Kos (Schäfer 2016), Rhodos (Schäfer & Breitling 2018) und Kreta (dieser Beitrag) begegnet ist. Besonders auffällig sind dabei die farblichen Unterschiede bei der Behaarung der Palpen, wobei insbesondere die gelben Farbanteile stark variieren. Während der Autor auf Rhodos (Abb. 19a-b) und Kos (Abb. 19c-d) ausschließlich Männchen fand, deren Palpen im oberen Teil eine abgegrenzte horizontale Linie aus leuchtend gelben Haaren besitzen (Abb. 19b, d), traf er auf Kreta (Abb. 19e-h) sowohl auf Tiere mit vollständig gelb behaarten Palpen (Abb. 19f) als auch auf solche, die nur sehr wenige bräunlich-gelbe Haare aufweisen (Abb. 19h). Eine Abgrenzung der „Behaarungstypen“ auf bestimmte Gebiete Kretas konnte dabei nicht festgestellt werden. Vielmehr traten Individuen beider Variationen auch syntop auf. Genital sind weder die Populationen der einzelnen Ägäis-Inseln, noch die kretischen Tiere untereinander, voneinander zu unterscheiden. Inwiefern diese Aussage auch für die Populationen der von mir nicht untersuchten Areale des Verbreitungsgebietes der Art zutrifft, wird sich in Zukunft zeigen. Bisher konnte die Art auf Karpathos (Logunov 2015), Kreta (Bosmans et al. 2013, Dobroruka 2002, Lecigne 2016, Logunov 2015, Logunov & Chatzaki 2003, Metzner 1999), Kos (Metzner 1999, Schäfer 2016), Lesbos (Bosmans et al. 2009), Rhodos (Logunov 2015, Metzner 1999, Schäfer & Breitling 2018) und in der Türkei (Logunov 2015) nachgewiesen werden.

***Heliophanillus fulgens*** (O. Pickard-Cambridge, 1872)

GRIECHENLAND, Kreta, L14, Tamarisken – Gebüsche am Seeufer, 13. Mai 2018: 1 ♂, 2 ♀♀, 1 j – Reifehäutung 23. Jun. 2018: 1 ♀; L4, *Vitex agnus-castus* – Gebüsche am Seeufer, 13. Mai 2018: 3 ♂♂, 5 ♀♀; L15, an Mauer, 16. Mai 2018: 2 ♂♂,

1 ♀, 1 j – Reifehäutung 4. Jun. 2018: 1 ♀, 14. Mai 2018: 1 Eikokon (in Gefangenschaft) – Reifehäutung 15. Aug. 2018: 5 ♂♂, 17. Nov. 2018: 5 ♀♀.

**Bestimmung.** Metzner (1999).

**Verbreitung.** Griechenland bis Zentralasien (WSC 2020).

***Heliophanus creticus*** Giltay, 1932 (Abb. 20)

GRIECHENLAND, Kreta, L16, unter Steinen, 14. Mai 2018: 2 ♂♂, 1 j – Reifehäutung 25. Jun. 2018: 1 ♂; L1, aus Gras, 15. Mai 2018: 4 jj – Reifehäutung 20. Okt. 2018: 3 ♂♂, 1 ♀; L17, auf Mauer, 17. Mai 2018: 1 ♀, 2. Jun. 2018: 1 Eikokon (in Gefangenschaft) – Reifehäutung 27. Nov. 2018: 1 ♂, 21. Dez. 2018: 4 ♂♂; L3, steiniger Wegrand, 18. Mai 2018: 1 j – Reifehäutung 20. Okt. 2018: 1 ♀; L6, auf Steinen, 19. Mai 2018: 1 ♂.

**Bestimmung.** Metzner (1999). Wesołowska (1986).

**Verbreitung.** Griechenland (Kreta) (WSC 2020).

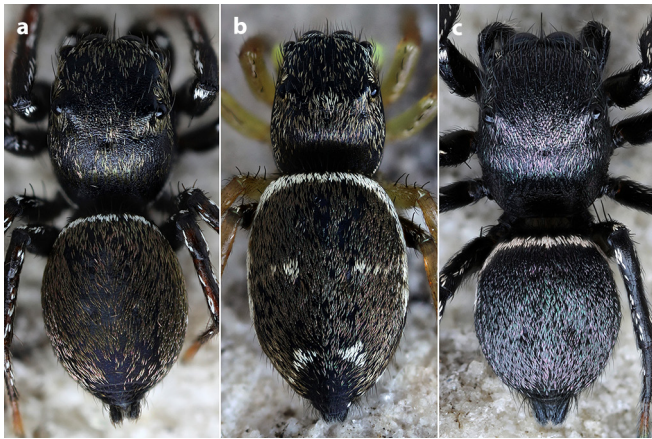
Zusätzlich zu den von Wesołowska (1986) und Metzner (1999) beschriebenen gelbbeinigen Weibchen mit dunkelbraunem Opisthosoma und weißen Flecken (Abb. 20b) wurden auch weibliche Tiere gefunden, die bis auf die weiße Binde am Opisthosoma-Vorderrand, inklusive der Beine, komplett schwarz gefärbt sind (Abb. 20c). Genital weisen die Tiere keine signifikanten Unterschiede auf. Ähnliche „melanistische“ Farbvariationen beobachtete der Autor schon bei *H. kochii* auf Kos (Schäfer 2016) und *H. tribulosus* auf Rhodos (Schäfer & Breitling 2018).

***Heliophanus decoratus*** L. Koch, 1875

GRIECHENLAND, Kreta, L1, aus Gras, 15. Mai 2018: 1 ♀.

**Bestimmung.** Prószyński (2003), Wesołowska (1986).

**Verbreitung.** Mediterran bis Iran (WSC 2020).



**Abb. 20:** *Heliophanus creticus*. **a.** Männchen vom Fundort L16. **b-c.** Weibchen-Variationen dorsal. **b.** vom Fundort L17; **c.** vom Fundort L1  
**Fig. 20:** *Heliophanus creticus*. **a.** male from location L16. **b-c.** variations in female habitus, dorsal view. **b.** from location L17; **c.** from location L1

*Heliophanus equester* L. Koch, 1867

GRIECHENLAND, Kreta, L18, hohes Gras, 11. Mai 2018: 1 ♂; L10, hohes Gras, 11. Mai 2018: 2 ♂♂; L4, hohes Gras, 17. Mai 2018: 1 ♀.

**Bestimmung.** Metzner (1999), Wesołowska (1986).

**Verbreitung.** Italien bis Aserbaidschan, Iran (WSC 2020).

*Heliophanus melinus* L. Koch, 1867

GRIECHENLAND, Kreta, L19, steiniger Parkplatz, 14. Mai 2018: 1 ♂; L6, auf Steinen, 19. Mai 2018: 2 ♂♂.

**Bestimmung.** Metzner (1999), Wesołowska (1986).

**Verbreitung.** Europa, Türkei (WSC 2020).

*Macaroeris nidicolens* (Walckenaer, 1802)

GRIECHENLAND, Kreta, L7, Olivenbaum, 10. Mai 2018: 2 ♂♂, 2 ♀♀, 1 j – Reifehäutung 20. Okt. 2018: 1 ♀; L18, auf Eiche, 11. Mai 2018: 1 ♀; L10, Olivenbaum, 11. Mai 2018: 1 ♂; L20, auf *Juniperus*, 11. Mai 2018: 1 ♀; L14, Tamarisken, 13. Mai 2018: 1 j – Reifehäutung 24. Mai 2018: 1 ♀; L4, *Vitex agnus-castus* – Gebüsche am Seeufer, 13. Mai 2018: 1 ♂; L21, auf *Juniperus*, 14. Mai 2018: 1 ♂.

**Bestimmung.** Metzner (1999).

**Verbreitung.** Makronesien, Europa, Nordafrika bis Türkei, Kaukasus, Turkmenistan, Iran. Eingeführt in Sri Lanka (WSC 2020).

*Menemerus semilimbatus* (Hahn, 1829)

GRIECHENLAND, Kreta, L7, auf Steinen, 10. Mai 2018: 1 ♂, 1 ♀.

**Bestimmung.** Metzner (1999), Wesołowska (1999).

**Verbreitung.** Kanarische Inseln, mediterran, Osteuropa, Türkei, Kaukasus, Iran. Eingeführt in Argentinien, Chile, USA (WSC 2020).

*Pellenes flavipalpis* (Lucas, 1853) (Abb. 11a, 12a, 14a, 15g-h, 16g-h)

GRIECHENLAND, Kreta, als Vergleichsmaterial bei *Pellenes florii* aufgeführt.

**Bestimmung.** Metzner (1999).

**Verbreitung.** Griechenland (inkl. Kreta), Türkei, Zypern (WSC 2020).

Die Trennung von *Pellenes flavipalpis* und *Pellenes geniculatus* wurde ausschließlich aufgrund von habituellen Merkmalen vorgenommen (Metzner 1999); genitalmorphologisch sind sie dagegen nicht zuverlässig zu unterscheiden. Weitere Untersuchungen, zum Beispiel anhand von molekulargenetischen Analysen oder Verhaltensstudien, werden nötig sein, um zu entscheiden, ob es sich tatsächlich um zwei gute Arten handelt oder um einen Fall von innerartlicher Variation, wie von Logunov & Chatzaki (2003) und Bosmans et al. (2013) vorgeschlagen.

Solange die beiden Formen als gute Arten aufgefasst werden, ist *Pellenes simoni* aus der Synonymie mit *P. geniculatus* in die Synonymie von *P. flavipalpis* zu verschieben. Diese Synonymie wurde bereits durch Metzner (1999) nach der Sichtung von topotypischem Material aus Kreta vorgeschlagen. Als Logunov et al. (1999) stattdessen die Synonymie mit *P. geniculatus* vorschlugen, berücksichtigten sie *P. flavipalpis* nicht als eigenständige Form. Laut Metzner (1999) ist der einzige diagnostische Unterschied zwischen *P. flavipalpis* und *P. geniculatus* der frontale weiße Fleck auf dem Prosoma (vgl. Abb. 15g-j, 16g-j). Und genau diesen Fleck („a large, somewhat oblong, transverse spot or patch of pure white squamous hair [in] the centre of the ocular area“) erwähnt auch Pickard-Cambridge (1872) in seiner Erstbeschreibung von *Attus simoni*. Keines der anderen dort aufgeführten Merkmale erlaubt eine Unterscheidung von *P. flavipalpis* bzw. *P. geniculatus* (vgl. auch Abb. in Prószyński (1984) und Metzner (1999)).

Die ohne Angabe von Gründen vorgenommene Synonymisierung von *P. tauricus* (Thorell, 1875) mit *P. simoni* durch Prószyński (1990) ist dagegen nicht nachvollziehbar. Daher wird auch der daraus folgende Vorschlag von Metzner (1999), *P. tauricus* mit *P. flavipalpis* zu synonymisieren, hier nicht berücksichtigt. Die Synonymisierung von *P. tauricus* mit *P. nigrociliatus* durch Logunov et al. (1999) ist hingegen schlüssig, zumal den Autoren für den direkten Vergleich Typusmaterial von beiden Arten vorgelegen hat.

*Pellenes nigrociliatus* (Simon, 1875)

GRIECHENLAND, Kreta, L1, Ruderalflur, 15. Mai 2018: 1 ♀; L1, zwischen Steinen, 18. Mai 2018: 1 ♀.

**Bestimmung.** Metzner (1999), Žabka (1997).

**Verbreitung.** Kanarische Inseln, Europa, Türkei, Israel, Kaukasus, Zentralasien, China (WSC 2020).

*Philaeus chrysoptis* (Poda, 1761)

GRIECHENLAND, Kreta, L7, auf Steinen, 10. Mai 2018: 2 ♂♂, 1 ♀; L15, an Mauer, 16. Mai 2018: 1 ♂; L6, unter Steinen, auf Steinen, 19. Mai 2018: 2 ♀♀, 1 j – Reifehäutung 17. Jun. 2018: 1 ♀; L22, auf Steinen, 19. Mai 2018: 1 ♂.

**Bestimmung.** Metzner (1999).

**Verbreitung.** Europa, Nordafrika bis Mittlerer Osten, Türkei, Kaukasus, Russland (Europa bis Ferner Osten), Iran, Zentralasien, Afghanistan, China, Mongolei, Korea (WSC 2020).

*Phlegra lineata* (C. L. Koch, 1846)

GRIECHENLAND, Kreta, L7, auf Steinen, 10. Mai 2018: 1 ♂.

**Bestimmung.** Metzner (1999).

**Verbreitung.** Südeuropa, Türkei, Syrien, Russland (Kaukasus) (WSC 2020).



**Abb. 21:** *Phlegra theseusi*. **a-b.** Männchen-Variationen dorsal. **a.** vom Fundort L2; **b.** vom Fundort L23. **c.** Weibchen vom Fundort L23

**Fig. 21:** *Phlegra theseusi*. **a-b.** variation in males dorsal view. **a.** from location L2; **b.** from location L23. **c.** female from location L23



**Abb. 22:** *Phlegra theseusi*, Männchen vom Fundort L2, frontal  
**Fig. 22:** *Phlegra theseusi*, male from location L2, frontal view



**Abb. 23:** *Phlegra theseusi*, Weibchen vom Fundort L2, frontal  
**Fig. 23:** *Phlegra theseusi*, female from location L2, frontal view

***Phlegra theseusi*** Logunov, 2001 (Abb. 21-23)

GRIECHENLAND, Kreta, L2, auf Steinen, 14. Mai 2018: 1 j – Reifehäutung 8. Jun. 2018: 1 ♂; L23, unter Steinen, 16. Mai 2018: 2 jj – Reifehäutung 26. Mai 2018: 1 ♀, 31. Mai 2018: 1 ♂.

**Bestimmung.** Logunov (2001) und Vergleichsmaterial von *Phlegra theseusi* Logunov, 2001: GRIECHENLAND, Kreta, Lefka Ori Mt., 35,29507°N 24,05140°E, 2129 m ü. NN, alpines Tal mit spärlicher Vegetation, 6. Okt. 1991: 4 ♂♂, 3 ♀♀ (MMUM G7246, leg. P. Lymberakis).

**Verbreitung.** Griechenland (Kreta) (WSC 2020).

Wie alle bisherigen Nachweise dieser Art (Logunov 2001, Bosmans et al. 2013) wurde eines der Individuen im gebirgigen Inselinnern (bei ca. 1400 m ü. NN) gefunden. Der andere Teil des Materials wurde in direkter Küstennähe gesammelt. Mit ca. 100 m ü. NN ist dieser zweite Fundort viel niedriger gelegen als die bisherigen Nachweisorte (Lefka Ori Mt., 1600–2100 m ü. NN (Logunov 2001), Imbros Schlucht, 600 m (Bosmans et al. 2013)), was die Annahme zulässt, dass es sich bei *P. theseusi* nicht um eine ausschließlich montane Gebiete bevorzugende Art handelt.

***Pseudicius picaceus*** (Simon, 1868)

GRIECHENLAND, Kreta, L24, auf Steinen, 14. Mai 2018: 3 ♂♂, 2 ♀♀, 1 j – Reifehäutung 30. Mai 2018: 1 ♀; L25, von Tamariske, 15. Mai 2018: 1 ♀; L26, an Baumstamm, 16. Mai 2018: 1 ♀; L6, auf Steinen, 19. Mai 2018: 1 ♀.

**Bestimmung.** Metzner (1999).

**Verbreitung.** Mediterran bis Aserbaidschan (WSC 2020).

***Saitis sengleti*** (Metzner, 1999) (Abb. 24-26)

GRIECHENLAND, Kreta, L7, unter Steinen, 10. Mai 2018: 3 jj – Reifehäutung 29. Sep. 2018: 1 ♂, 30. Sep. 2018: 1 ♂, 27. Okt. 2018: 1 ♀; L11, Eukalyptuslaub, 11. Mai 2018: 1 ♀, 26. Apr. 2018: 1 Eikokon (in Gefangenschaft) – Reifehäutung 17. Nov. 2018: 1 ♀, 15. Dez. 2018: 2 ♀♀, 13. Jun. 2018: 1 Eikokon (in Gefangenschaft) – Reifehäutung 15. Dez. 2018: 1 ♀; L11, Eukalyptuslaub, 12. Mai 2018: 5 jj – Reifehäutung 29. Sep. 2018: 1 ♂, 20. Okt. 2018: 1 ♀, 27. Okt. 2018: 3 ♀♀; L11, Eukalyptuslaub, 17. Mai 2018: 5 jj – Reifehäutung 20. Okt. 2018: 4 ♀♀, 6. Nov. 2018: 1 ♀; L13, Eichen laub, 18. Mai 2018: 2 jj – Reifehäutung 29. Sep. 2018: 2 ♀♀.

**Bestimmung.** Logunov (2001), Metzner (1999) und Vergleichsmaterial von *Saitis ariadneae* Logunov, 2001: GRIECHENLAND, Kreta, Lefka Ori Mt., 35,29507°N 24,05140°E, 2129 m ü. NN, alpines Tal, 6. Aug. 1992: 2 ♂♂, 1 ♀ (MMUM G7231, leg. P. Lymberakis).

**Verbreitung.** Griechenland (inkl. Kreta) (WSC 2020).

***Salticus zebraneus*** (C. L. Koch, 1837)

GRIECHENLAND, Kreta, L18, auf Eichenstamm, 11. Mai 2018: 1 ♀; L14, Tamarisken – Gebüsche am Seeufer, 13. Mai 2018: 1 ♂, 2 ♀♀; L4, *Vitex agnus-castus* – Gebüsche am Seeufer, 13. Mai 2018: 1 ♂, 5 ♀♀.

**Bestimmung.** Metzner (1999).



**Abb. 24:** *Saitis sengleti*. **a-b.** Männchen-Variationen dorsal. **a.** vom Fundort L11; **b.** vom Fundort L7. **c.** Weibchen vom Fundort L11

**Fig. 24:** *Saitis sengleti*. **a-b.** variation in males dorsal view. **a.** from location L11; **b.** from location L7. **c.** female from location L11



**Abb. 25:** *Saitis sengleti*, Männchen vom Fundort L7, frontal  
**Fig. 25:** *Saitis sengleti*, male from location L7, frontal view



**Abb. 26:** *Saitis sengleti*, Weibchen vom Fundort L11, frontal  
**Fig. 26:** *Saitis sengleti*, female from location L11, frontal view

**Verbreitung.** Europa, Türkei, Russland (Europa, Kaukasus), Iran (WSC 2020).

***Synageles dalmaticus*** (Keyserling, 1863)

GRIECHENLAND, Kreta, L20, auf *Juniperus*, 11. Mai 2018: 2 ♂, 2 ♀; L15, an Mauer, 11. Mai 2018: 1 ♂; L26, an Mauer, 11. Mai 2018: 1 ♂; L15, an Mauer, 16. Mai 2018: 1 ♂.

**Bestimmung.** Metzner (1999).

**Verbreitung.** Mediterran, Bulgarien, Rumänien, Ukraine, Kaukasus (Russland, Aserbaidschan) (WSC 2020).

***Thyene imperialis*** (Rossi, 1846)

GRIECHENLAND, Kreta, L27, Schilf, 15. Mai 2018: 1 ♀.

**Bestimmung.** Metzner (1999).

**Verbreitung.** Südeuropa, Nord- und Ostafrika, Mittlerer Osten bis Zentralasien und China, Indien, Indonesien (WSC 2020).

### Schlussfolgerung

Durch die Neubeschreibung von *P. florii* steigt die Anzahl der auf Kreta nachgewiesenen Springspinnenarten von 62 auf 63 (Tab. 2 und 3). Ein ähnlich großes und auch von den Arten her vergleichbares Inventar an Salticiden weist in der Ägäis nur noch die Insel Rhodos auf (vgl. Tab. 2 in Schäfer & Breitling 2018). Im Gegensatz zu dieser findet man auf Kreta aufgrund seiner Nähe zu Afrika (einige Gebiete der Südküste liegen bereits in der nordafrikanischen Klimazone) allerdings auch einige afrikanische Elemente, wie *Euophrys gambosa*, *Heliophanillus fulgens* und *Heliophanus decoratus*.

Wenn man *P. geniculatus* und *P. flavipalpis* als eigenständige Arten ansieht (siehe Bemerkungen zu *P. flavipalpis*) erhöht sich außerdem die Anzahl der für Kreta nachgewiesenen Pel-

lenes Arten von fünf (Bosmans et al. 2013, Lecigne 2016) auf sechs. Das gemeinsame Vorkommen von sechs Arten einer Gattung auf einer einzigen Insel ist bemerkenswert. Ob es sich bei dem in Bosmans et al. (2013) aufgeführten Nachweis von *P. arciger* tatsächlich um diese Art handelt, konnte nicht überprüft werden. Im Königlichen Belgischen Institut für Naturwissenschaften, wo die beiden untersuchten kretischen Weibchen laut Bosmans et al. (2013) deponiert wurden, ist das Material nicht auffindbar (Léon Baert in litt.).

**Tab. 2:** Für die Insel Kreta nachgewiesene Springspinnen  
**Tab. 2:** Records of Salticidae from the Island of Crete

Art	Erstnachweis	dieser Beitrag
<i>Aelurillus blandus</i> (Simon, 1871)	Bosmans et al. (2013)	
<i>Aelurillus cretensis</i> Azarkina, 2002	Azarkina (2002)	x
<i>Aelurillus leipoldae</i> (Metzner, 1999)	Metzner (1999)	
<i>Aelurillus luctuosus</i> (Lucas, 1846)	Metzner (1999)	
<i>Ballus chalybeius</i> (Walckenaer, 1802)	Metzner (1999)	
<i>Bianor albobimaculatus</i> (Lucas, 1846)	Metzner (1999)	
<i>Carrhotus xanthogramma</i> (Latreille, 1819)	Dobroruka (2002)	
<i>Chalcoscirtus infimus</i> (Simon, 1868)	Giltay (1932)	x
<i>Cyrrba algerina</i> (Lucas, 1846)	Kulczyński (1903)	
<i>Euophrys gambosa</i> (Simon, 1868)	Bosmans et al. (2013)	
<i>Euophrys herbigrada</i> (Simon, 1871)	Metzner (1999)	
<i>Euophrys rufibarbis</i> (Simon, 1868)	Metzner (1999)	x
<i>Euophrys sulphurea</i> (L. Koch, 1867)	Metzner (1999)	x
<i>Euophrys terrestris</i> Simon, 1871	Logunov & Chatzaki (2003)	
<i>Evarcha arcuata</i> (Clerck, 1757)	Roewer (1959)	
<i>Evarcha jucunda</i> (Lucas, 1846)	Kulczyński (1903)	x
<i>Evarcha laetabunda</i> (C. L. Koch, 1846)	Bosmans et al. (2013)	
<i>Habrocestum egaicum</i> Metzner, 1999	Metzner (1999) *	x
<i>Hasarius adansonii</i> (Audouin, 1826)	Lucas (1853)	
<i>Heliophanillus fulgens</i> (O. Pickard-Cambridge, 1872)	Metzner (1999)	x
<i>Heliophanus auratus</i> C. L. Koch, 1835	Bosmans et al. (2013)	
<i>Heliophanus creticus</i> Giltay, 1932	Giltay (1932)	x
<i>Heliophanus decoratus</i> L. Koch, 1875	Bosmans et al. (2013)	x
<i>Heliophanus equester</i> L. Koch, 1867	Wesołowska (1986)	x
<i>Heliophanus kochii</i> Simon, 1868	Wesołowska (1986)	
<i>Heliophanus melinus</i> L. Koch, 1867	Kulczyński (1903)	x
<i>Heliophanus tribulosus</i> Simon, 1868	Wesołowska (1986)	
<i>Icius hamatus</i> (C. L. Koch, 1846)	Metzner (1999)	
<i>Macarokeris nidicolens</i> (Walckenaer, 1802)	Bosmans et al. (2013)	x
<i>Marpissa muscosa</i> (Clerck, 1757)	Bosmans et al. (2013)	
<i>Marpissa nivoyi</i> (Lucas, 1846)	Metzner (1999)	
<i>Mendoza canestrinii</i> Ninni, 1868	Bosmans et al. (2013)	
<i>Menemerus falsificus</i> Simon, 1868	Cecconi (1896)	

Art	Erstnachweis	dieser Beitrag
<i>Menemerus semilimbatus</i> (Hahn, 1829)	Metzner (1999)	x
<i>Myrmarachne formicaria</i> (De Geer, 1778)	Metzner (1999)	
<i>Neaetha absheronica</i> Logunov & Guseinov, 2002	Logunov & Chatzaki (2003) **	
<i>Neon levis</i> (Simon, 1871)	Metzner (1999)	
<i>Neon rayi</i> (Simon, 1875)	Metzner (1999)	
<i>Pellenes arciger</i> (Walckenaer, 1837)	Bosmans et al. (2013)	
<i>Pellenes epularis</i> (O. Pickard-Cambridge, 1872)	Logunov & Chatzaki (2003)	
<i>Pellenes flavipalpis</i> (Lucas, 1852)	Lucas (1853)	x
<i>Pellenes florii</i> <b>sp. nov.</b>	dieser Beitrag	x
<i>Pellenes geniculatus</i> (Simon, 1868)	Logunov & Chatzaki (2003)	
<i>Pellenes nigrociliatus</i> (Simon, 1875)	Lecigne (2016)	x
<i>Philaeus chrysops</i> (Poda, 1761)	Roewer (1959)	x
<i>Phlegra fasciata</i> (Hahn, 1826)	Metzner (1999)	
<i>Phlegra lineata</i> (C. L. Koch, 1846)	Dobroruka (2002)	x
<i>Phlegra theseusi</i> Logunov, 2001	Logunov (2001)	x
<i>Plexippus paykulli</i> (Audouin, 1826)	Metzner (1999)	
<i>Pseudeuophrys obsoleta</i> (Simon, 1868)	Dobroruka (2002)	
<i>Pseudicius encarpatus</i> (Walckenaer, 1802)	Roewer (1959)	
<i>Pseudicius picaceus</i> (Simon, 1868)	Metzner (1999)	x
<i>Pseudomogrus gavidos</i> (Logunov & Marusik, 2003)	Logunov & Marusik (2003)	
<i>Saitis ariadneae</i> Logunov, 2001	Logunov (2001)	
<i>Saitis barbipes</i> (Simon, 1868)	Bosmans et al. (2013)	
<i>Saitis sengleti</i> (Metzner, 1999)	Metzner (1999)	x
<i>Salticus confusus</i> Lucas, 1846	Logunov (2015)	
<i>Salticus mutabilis</i> Lucas, 1846	Bosmans et al. (2013)	
<i>Salticus propinquus</i> Lucas, 1846	Bosmans et al. (2013)	
<i>Salticus zebraneus</i> (C. L. Koch, 1837)	Metzner (1999)	x
<i>Synageles dalmaticus</i> (Keyserling, 1863)	Metzner (1999)	x
<i>Synageles hilarulus</i> (C. L. Koch, 1846)	Logunov & Chatzaki (2003)	
<i>Thyene imperialis</i> (Rossi, 1846)	Dobroruka (2002)	x

\* allerdings bereits durch Kulczyński (1903) als *H. latifasciatum* für Kreta erwähnt (Bosmans et al. 2013)

\*\* als zweifelhafter Nachweis von *N. membrosa*, durch Bosmans et al. (2013) als *N. absheronica* bestätigt

### Danksagung

Vielen Dank an Rainer Breitling für einen regen Gedankenaustausch, seine wertvollen Hinweise während der Erstellung des Manuskriptes und die Übersetzung der Diagnose und Beschreibung von *P. florii* ins Englische. Mein Dank gilt Julia Altmann, Jason Dunlop, Anja Friederichs, Hubert Höfer, Peter Jäger, Johan Van Keer, Sylvain Lecigne, Dmitri Logunov, Zoë Simmons und Pierre Oger für das Ausleihen von Vergleichsmaterial bzw. die Nutzung von Fotos. Herzlichen Dank auch an Tobias Bauer für die unkomplizierte Zusammenarbeit hinsichtlich der Archivierung des Typusmaterials von *Pellenes florii* und an Petros Lymberakis für das Mitteilen der genauen Funddaten seines gesammelten Materials von *Phlegra theseusi* und *Saitis ariadneae*. Außerdem geht mein Dank an Theo Blick und alle Gutachter für ihre nützlichen Kommentare.

**Tab. 3:** Anzahl der Salticidae-Erstnachweise für die Insel Kreta, chronologisch nach Autor

**Tab. 3:** Number of first records of the Salticidae of Crete, chronologically by author

Referenz	Anzahl Erstnachweise
Lucas (1853)	2
Cecconi (1896)	1
Kulczyński (1903)	3
Giltay (1932)	2
Roewer (1959)	3
Wesołowska (1986)	3
Metzner (1999)	21
Logunov (2001)	2
Azarkina (2002)	1
Dobroruka (2002)	4
Logunov & Chatzaki (2003)	5
Logunov & Marusik (2003)	1
Bosmans et al. (2013)	12
Logunov (2015)	1
Lecigne (2016)	1
dieser Beitrag	1
Summe	63

### Literatur

- Alicata P & Cantarella T 2000 I Salticidi di Sicilia: stato della conoscenza e descrizione di due nuove specie (Araneae Salticidae). – Memorie della Società Entomologica Italiana 78: 485-498
- Azarkina GN 2002 New and poorly known species of the genus *Aelurillus* Simon, 1884 from Central Asia, Asia Minor and the eastern Mediterranean (Araneae: Salticidae). – Bulletin of the British Arachnological Society 12: 249-263
- Azarkina GN & Komnenov M 2015 Descriptions of two new species of *Aelurillus* Simon, 1884 (Araneae, Salticidae) from the Mediterranean, with the synonymization of *A. steliiosi* Dobroruka, 2002. – ZooKeys 516: 109-122 – doi: [10.3897/zookeys.516.9439](https://doi.org/10.3897/zookeys.516.9439)
- Bosmans R, Baert L, Bosselaers J, De Koninck H, Maelfait J-P & Van Keer J 2009 Spiders of Lesbos (Greece): A catalogue with all currently known spider reports from the Eastern Aegean Island of Lesbos. – Nieuwsbrief van de Belgische Arachnologische Vereniging 24 (supplement): 1-70
- Bosmans R, Van Keer J, Russell-Smith A, Kronestedt T, Alderweireldt M, Bosselaers J & De Koninck H 2013 Spiders of Crete (Araneae). A catalogue of all currently known species from the Greek Island of Crete. – Arachnological Contributions, Newsletter of the Belgian Arachnological Society 28 (Supplement 1): 1-147
- Caporiacco L di 1948 L'arachnofauna di Rodi. – Redia 33: 27-75
- Cecconi G 1896 Ricordi zoologici di un viaggio all'isola di Candia. – Bolletino della Società entomologica italiana 27: 169-231
- Dobroruka LJ 2002 Notes on a collection of jumping spiders from Greece, mainly from Crete (Araneae: Salticidae). – Biologia Gallo-hellenica 28: 5-26
- Giltay L 1932 Arachnides recueillis par M. d'Orchymont au cours de ses voyages aux Balkans et en Asie Mineure en 1929, 1930 et 1931. – Bulletin du Musée d'Histoire naturelle de Belgique 8 (22): 1-40
- Kulczyński W 1903 Araneorum et Opilium species in insula Creta a comite Dre Carolo Attems collectae. – Bulletin international de l'Académie des sciences de Cracovie (Classe des Sciences mathématiques et naturelles) 1903: 32-58
- Lecigne S 2016 Contribution à la connaissance de l'aranéofaune (Araneae) de Crète (Grèce) et description de la femelle inconnue de *Neaetha absheronica* Logunov & Guseinov, 2002 (Salticidae). – Nieuwsbrief van de Belgische arachnologische Vereniging 30: 95-118

- Logunov DV 2001 New and poorly known species of the jumping spiders (Aranei: Salticidae) from Afghanistan, Iran and Crete. – *Arthropoda Selecta* 10: 59-66
- Logunov DV 2015 Taxonomic-faunistic notes on the jumping spiders of the Mediterranean (Aranei: Salticidae). – *Arthropoda Selecta* 24: 33-85
- Logunov DV & Chatzaki M 2003 An annotated check-list of the Salticidae (Araneae) of Crete, Greece. – *Revista Ibérica de Aracnología* 7: 95-100
- Logunov DV & Marusik Y 2003 A revision of the genus *Yllenus* Simon, 1868 (Arachnida, Araneae, Salticidae). KMK Scientific Press, Moscow. 168 pp.
- Logunov DV & Marusik YM 1999 A brief review of the genus *Chalcoscirtus* Bertkau, 1880 in the faunas of Central Asia and the Caucasus (Aranei: Salticidae). – *Arthropoda Selecta* 7: 205-226
- Logunov DV, Marusik YM & Rakov SY 1999 A review of the genus *Pellenes* in the fauna of Central Asia and the Caucasus (Araneae, Salticidae). – *Journal of Natural History* 33: 89-148 – doi: [10.1080/002229399300489](https://doi.org/10.1080/002229399300489)
- Lucas H 1853 Essai sur les animaux articulés qui habitent l'île de Crete. – *Revue et Magasin de Zoologie Pure et Appliquée* 5: 418-424, 461-468, 514-531, 565-576
- Metzner H 1999 Die Springspinnen (Araneae, Salticidae) Griechenlands. – *Andrias* 14: 1-279
- Oger P 2019 Les Araignées de Belgique et de France. – *Les Araignées de Belgique et de France* – Internet: <https://arachno.piwigo.com> (7. Mrz 2019)
- Pickard-Cambridge O 1872 General list of the spiders of Palestine and Syria, with descriptions of numerous new species, and characters of two new genera. – *Proceedings of the Zoological Society of London* 40: 212-354, pl. 13-16
- Prószyński J 1984 Atlas rysunków diagnostycznych mniej znanych Salticidae (Araneae). – *Zeszyty Naukowe Wyższej Szkoły Rolniczo-Pedagogicznej w Siedlcach* 2: 1-177
- Prószyński J 1990 Catalogue of Salticidae (Araneae): Synthesis of quotations in the world literature since 1940, with basic taxonomic data since 1758. *Wyższa Szkoła Rolniczo-Pedagogiczna w Siedlcach*. 366 S.
- Prószyński J 2003 Salticidae (Araneae) of the Levant. – *Annales Zoologici, Warszawa* 53: 1-180
- Roewer CF 1955 Katalog der Araneae von 1758 bis 1940, bzw. 1954. 2. Band, Abt. a (Lycosaeformia, Dionycha [excl. Salticiformia]). 2. Band, Abt. b (Salticiformia, Cribellata) (Synonyma-Verzeichnis, Gesamtindex). Institut royal des Sciences naturelles de Belgique Bruxelles. 1751 S.
- Roewer CF 1959 Die Araneae, Solifuga und Opiliones der Sammlungen des Herrn Dr. K. Lindberg aus Griechenland, Creta, Anatolien, Iran und Indien. – *Göteborgs Kungliga Vetenskaps och Vitterhets Samhälles Handlingar* 8 (4): 1-47
- Schäfer M 2016 Zur Springspinnenfauna (Araneae, Salticidae) der griechischen Dodekanes-Insel Kos, mit zwölf Erstnachweisen. – *Arachnologische Mitteilungen* 51: 73-79 – doi: [10.5431/aramit5111](https://doi.org/10.5431/aramit5111)
- Schäfer M & Breitling R 2018 Ein Beitrag zur Springspinnenfauna (Araneae, Salticidae) der griechischen Dodekanes-Insel Rhodos mit der Neubeschreibung von *Pseudeuophrys rhodiensis* und sechs weiteren Erstnachweisen. – *Arachnologische Mitteilungen* 55: 64-74 – doi: [10.30963/aramit5512](https://doi.org/10.30963/aramit5512)
- Simon E 1868 Monographie des espèces européennes de la famille des attides (Attidae Sundewall. – Saltigradae Latreille). – *Annales de la Société Entomologique de France* (4) 8: 11-72, 529-726
- Simon E 1884 Etudes arachnologiques. 16e Mémoire. XXIII. Matériaux pour servir à la faune des arachnides de la Grèce. – *Annales de la Société Entomologique de France* (6) 4: 305-356
- Wesołowska W 1986 A revision of the genus *Heliophanus* C. L. Koch, 1833 (Aranei: Salticidae). – *Annales Zoologici, Warszawa* 40: 1-254
- Wesołowska W 1999 A revision of the spider genus *Menemerus* in Africa (Araneae: Salticidae). – *Genus* 10: 251-353
- WSC 2020 World spider catalog. Version 20.5. Natural History Museum Bern – Internet: <http://wsc.nmbe.ch> (10. Jan. 2020)
- Żabka M 1997 Salticidae: Pająki skaczące (Arachnida: Araneae). – *Fauna Polski* 19: 1-188